



# Elektronik II, Foliensatz 1

## Wiederholung bis Bauteiltoleranzen

G. Kemnitz

Institut für Informatik, Technische Universität Clausthal  
12. Juli 2013



## Inhalt des Foliensatzes

Wiederholung, Kontrollfragen, Aufgaben

### DC-Analyse

- 2.1 Berechnung des Arbeitspunkts
- 2.2 Berechnung der Transferfunktion
- 2.3 Berechnung von Kennlinien
- 2.4 Aufgaben und Kontrollfragen

### AC-Analyse

- 3.1 Zeitdiskrete Simulation
- 3.2 Frequenzgang
- 3.3 RCL-Glieder
- 3.4 Verstärker
- 3.5 Spektralanalyse
- 3.6 Klirrfaktor
- 3.7 Rauschen
- 3.8 Stabilität
- 3.9 Aufgaben und Kontrollfragen

### Bauteiltoleranzen



## Einleitung

- Die Elektronik entwickelt sich sehr schnell.
- Welches Wissen ist auch noch in 10 bis 20 Jahren nützlich?
  - Die physikalischen und technischen Grundlagen.
  - Grundtechniken für Modellbildung, Simulation und Entwurf.
  - Erarbeiten von Wissen aus Büchern etc.
  - gesundes Einschätzungsvermögen, was möglich und was Phantasie ist.
- Grundsäulen der Wissensvermittlung:
  - physikalische Grundlagen: Strom, Spannung, Widerstand, Halbleiter, Leitungen
  - Systemtheorie: Mathematik, lineare Systeme, Frequenzraum, ...
  - Schaltungstechnik

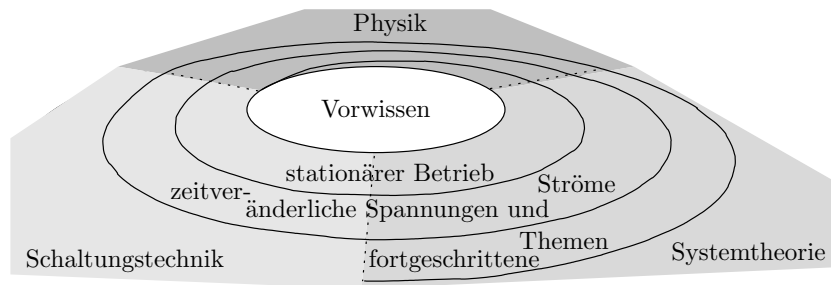


## Wiederholung, Kontrollfragen, Aufgaben



## Lernprozess als Iteration

Elektronik 1:



Wichtige Erkenntnisse aus der physikalischen Sicht:

- Solange Schaltungen mit Schaltplänen beschreibbar sind, spielen die Geometrie und damit auch elektrische und magnetische Felder keine Rolle.



# 1. Wiederholung, Kontrollfragen, Aufgaben

- Es es eine Beschränkung möglich auf:
  - Maschsatz
  - Knotensatz
  - Black-Box-Modelle für Bauteile.
- Für Halbleiterbauteile wurden in Elektronik I stark vereinfachte Modelle eingeführt, Schaltungen damit analysiert und die Modell physikalisch untermauert.
- Elektrisch lange Leitungen: Wellengleichungen, Ausbreitung, Reflexion

## Weiterführung in Elektronik II:

- genauere Nachbildung der physikalischen Eigenschaften in Simulationsmodellen
- weitere physikalische Effekte, z.B. Temperatureinfluss, Rauschen, ...
- bisher nicht modellierte Bauteileigenschaften.



## Fragen zu Wiederholung:

- Was ist Spannung und was ist Strom?
- Was besagen der Maschen- und der Knotensatz?
- Unter welcher Bedingung sind Elektronen in Halbleitern beweglich?
- Was sind bewegliche Löcher?
- Wie wird die Dichte der beweglichen Elektronen und Löcher in einem Halbleiter eingestellt?
- Spannungsänderungen zwischen Schaltungspunkten setzen eine dazu proportionale Ladungsänderungen voraus. Wie wird dieser Zusammenhang beschrieben und mit was für einem Schaltungselement wird er nachgebildet?



# 1. Wiederholung, Kontrollfragen, Aufgaben

- Stromänderungen in Leitungen verursachen einen dazu proportionalen Spannungsabfall. Welche physikalische Größe beschreibt dieses Phänomen und mit welchem Bauteil wird es in einer Schaltung berücksichtigt?
- Was ist Eigen- und was ist Gegeninduktivität?
- Was ist eine elektrisch lange Leitung? Nennen Sie wichtigen Eigenschaften elektrisch langer Leitungen.



## Wichtige Erkenntnisse aus der Systemtheorie

- Die Berechnung der Ströme und Spannungen in einer Schaltung erfordert die Lösung (großer) Gleichungssysteme.
- Mathematisch nur für lineare Systeme beherrschbar.
- Annäherung nichtlinearer Kennlinien durch lineare Kennlinienäste.
- Nachbildung von Kapazitäten und Induktivitäten durch Quellen, die ihre Werte in diskreten Zeitschritten ändern.
- Abschätzung von Zeitabläufen durch Rückführung auf geschaltete RC-Glieder.
- Für Quellenspannungen /- ströme vom Typ  $\underline{U} \cdot e^{j\omega t}$  /  $\underline{I} \cdot e^{j\omega t}$  vereinfachen sich lineare Differentialgleichungssysteme zu linearen Gleichungssystemen.
- Jeder Spannungs- bzw. Stromverlauf lässt sich in eine Summe solcher komplexen Signale zerlegen und durch seinen Amplituden und Phasenfrequenzgang beschreiben.



## Weiterführung der Systemtheorie in Elektronik II

Genauere Modelle und Arbeit mit dem Simulator.

Gleichstromanalyse (DC-Analyse):

- Kennlinien und DC-Transferfunktion
- Arbeitspunkt, Kleinsignalmodell
- Sensitivitätsanalyse: Verhalten der Schaltung bei Variation der Bauteilparameter
- Monte-Carlo-Analyse (stochastisches Verfahren)

Wechselstromanalyse (AC-Analyse):

- Amplituden und Phasenfrequenzgang.
- Klirrfaktor
- Rauschsignale und Rauschanalyse
- passive und aktive Filter

Zeitdiskrete Berechnung von Signalverläufen

- Arbeit mit dem Simulator.



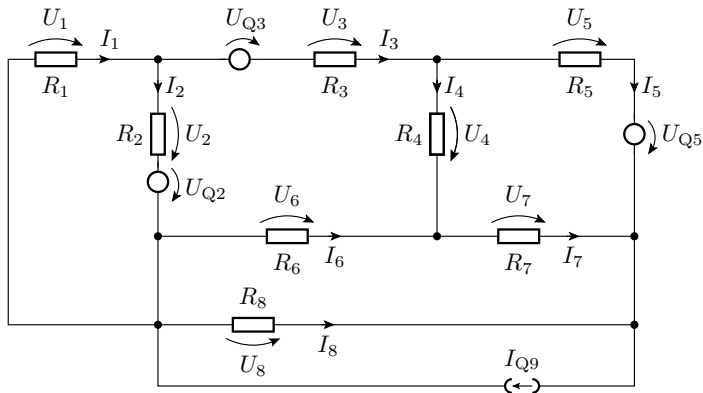
## Fragen zu Wiederholung:

- Wie können beim Aufstellen der Maschen und Knotengleichungen linear Abhängigkeiten vermieden werden?
- Welchen Problem muss bei einer Schaltung aus Bauteilen mit 2 bis  $n$  Anschlüssen gelöst werden, bevor die Spannungen und Ströme mit Hilfe von Maschen- und Knotengleichungen bestimmt werden können?
- Wie lauten die Strom-Spannungs-Beziehungen an den Zweipolen: (Konstant-) Spannungsquelle, (Konstant-) Stromquelle, Widerstand, Kapazität und Induktivität?
- Was besagt der Überlagerungssatz?



## Übungsaufgaben

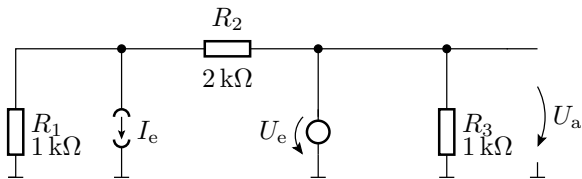
- Stellen Sie eine ausreichend große Menge von linear unabhängigen Gleichungen auf, um in der nachfolgenden Schaltung alle Spannungen und Ströme zu berechnen.





# 1. Wiederholung, Kontrollfragen, Aufgaben

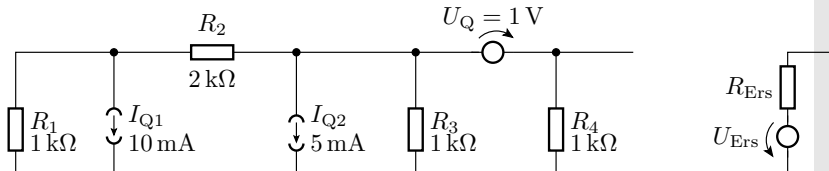
- Berechnen Sie mit Hilfe des Helmholtzschen Überlagerungsprinzips die Ausgangsspannung  $U_a$  in Abhängigkeit von  $U_e$  und  $I_e$ .



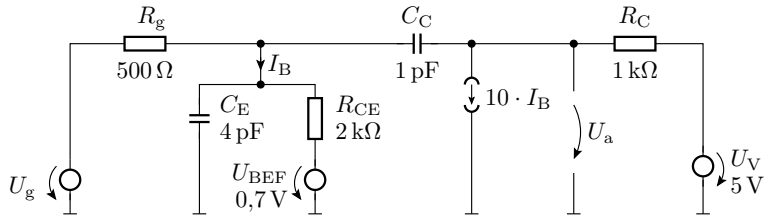


# 1. Wiederholung, Kontrollfragen, Aufgaben

- Berechnen Sie mit dem Helmholtzschen Überlagerungsprinzip  $R_{\text{Ers}}$  und  $U_{\text{Ers}}$  für den nachfolgenden Zweipol.



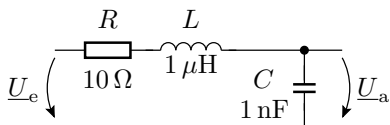
- Entwickeln Sie für die nachfolgende Schaltung die Ersatzschaltungen für  $\omega = 0$  und  $\omega > 0$ .



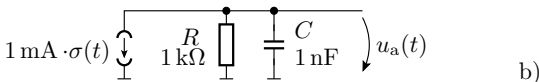
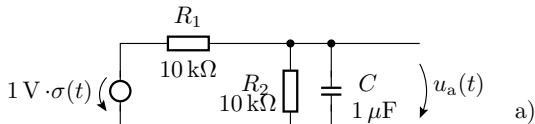


# 1. Wiederholung, Kontrollfragen, Aufgaben

- Berechnen Sie die Ausgangsspannung in Abhängigkeit von der Eingangsspannung und der Frequenz.



- Mit welcher Zeitkonstante  $\tau$  laden sich die Kapazitäten um? Welchen Wert haben die Spannungen über den Kapazitäten vor dem Sprung und lange nach dem Sprung?





## Schaltungstechnik

In Elektronik I wurden behandelt mit vereinfachten Modellen:

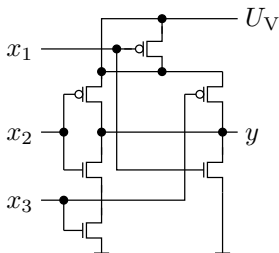
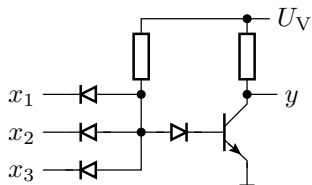
- Verstärkergrundsaltungen
- Schaltungen zur Spannungs- und Stromversorgung
- Logikgatter

Weiterführung in Elektronik II: Dieselben Schaltungstypen mit

- genaueren Modellen
- gezielter Entwurf
- professionelle Lösungen.

## Fragen zu Wiederholung:

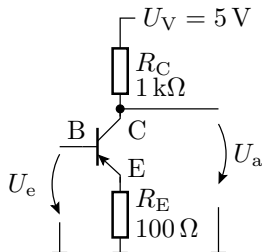
- Welche logischen Funktion bildet die nachfolgenden Gatterschaltungen nach?



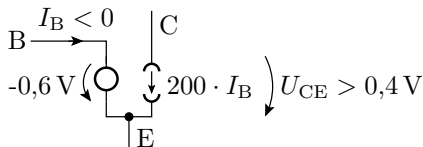


# 1. Wiederholung, Kontrollfragen, Aufgaben

- Zeichnen Sie die lineare Ersatzschaltung der nachfolgenden Transistorschaltung mit der gegebenen Ersatzschaltung. Berechnen Sie die Verstärkung  $v_U$ . In welchem Bereich der Eingangsspannung gilt die Ersatzschaltung?



Ersatzschaltung  
und Gültigkeitsbereich  
für den Transistor





# DC-Analyse



## Berechnung des Arbeitspunkts



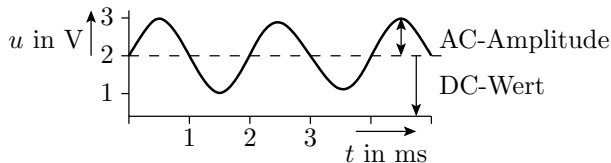
## DC- / AC-Trennung

Aufspaltung der zu verarbeitenden Signale in

- DC-Wert (Gleichanteil) und
- AC-Teil (zeitveränderlicher (Wechselgrößen-) Anteil).

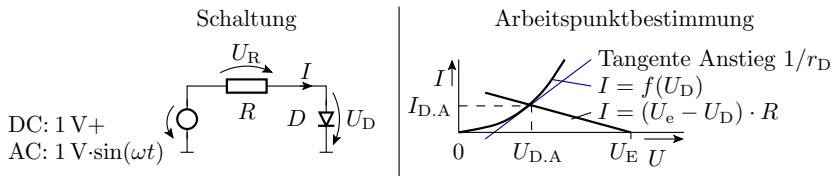
Beispiel:

$$u(t) = \underbrace{1 \text{ V}}_{\text{DC-Wert}} + \underbrace{1 \text{ V} \cdot \sin\left(\frac{2 \cdot \pi}{1 \text{ ms}} \cdot t\right)}_{\text{AC-Teil}}$$

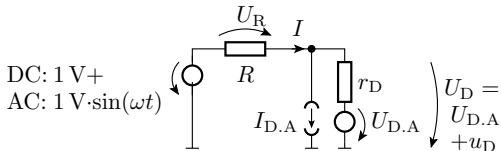


Getrennte Schaltungsanalyse für den Gleich- und Wechselspannungsanteil setzt nach Überlagerungssatz Linearität voraus.

## Linearisierung im Arbeitspunkt

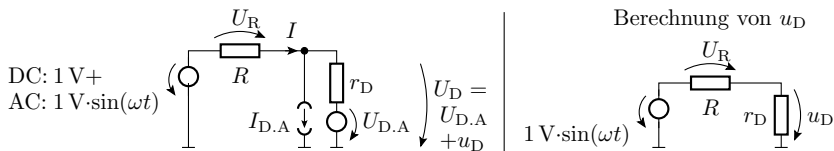


lineare Ersatzschaltung

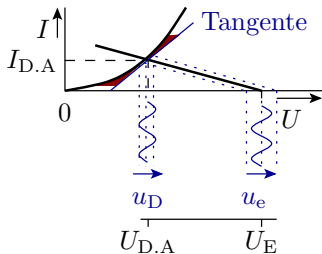


- Arbeitspunktbestimmung mit dem DC-Wert
- Annäherung nichtlinearere Elemente durch die Tangente im Arbeitspunkt.

## Kleinsignalmodell für die AC-Berechnung



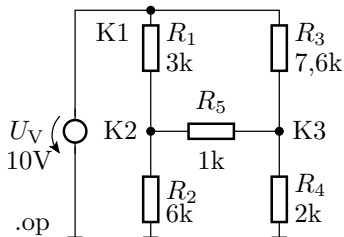
- Für die AC-Berechnung DC-Anteile weglassen.
- Gute Näherung für kleine AC-Signale.
  
- Große AC-Signale werden verzerrt.



■ Ursache für Verzerrungen

## Arbeitspunkt einer Brückenschaltung

Entspricht der bisherigen Gleichspannungsanalyse. Berechnung der Knotenpotentiale und Zweigströme.



Mit Simulator LT-Spice (siehe Übung):

- graphische Schaltungseingabe
- Simulationskommando `>>.op<<` für `>>operation point<<`.
- Simulation starten.

Ergebnis:

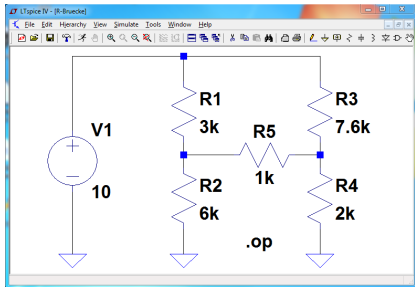
- Netzliste der eingegebenen Schaltung
- Berechnete Ströme und Spannungen.

## Netzliste

Netzliste:

```

R1 N001 N002 3k
R2 N002 0 6k
R3 N001 N003 7.6k
R4 N003 0 2k
R5 N003 N002 1k
V1 N001 0 10
.op
    
```



Spalte 1: Bauteilname; Spalte 2-3: Knoten; Spalte 4:  
Parameterwert in  $\Omega$  bzw. V

- Die Knotennummern vergibt der Simulator.
- Der Bezugsknoten (Masse) hat Nummer null.
- Alle Knoten müssen eine Gleichspannungsverbindung zu Masse haben.



## Simulationsergebnis

Potentiale aller Knoten

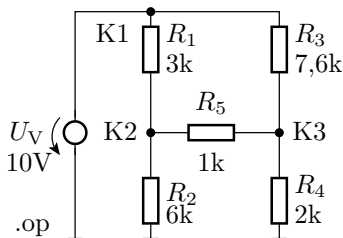
V(n001): 10 voltage  
 V(n002): 4.66667 voltage  
 V(n003): 3.66667 voltage

Ströme durch alle Bauteile:

I(R5): -0.001 device\_current  
 I(R4): 0.00183333 device\_current  
 I(R3): 0.000833333 device\_current  
 I(R2): 0.000777778 device\_current  
 I(R1): 0.00177778 device\_current  
 I(V1): -0.00261111 device\_current

Probe:

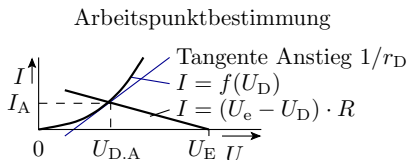
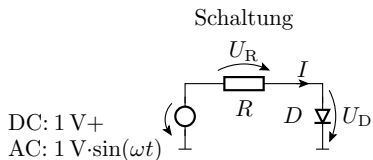
$$R_2 = \frac{U_{R2}}{I_{R2}} = \frac{4,66667 \text{ V}}{0,000777778 \text{ A}} = 6 \text{ k}\Omega$$





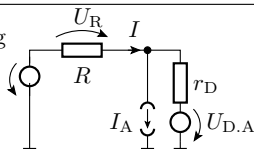
## Berechnung der Transferfunktion

## Kleinsignalmodell



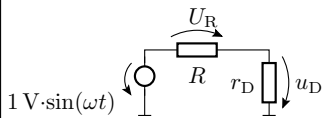
linearisierte  
Ersatzschaltung

DC: 1 V+  
AC: 1 V · sin(ωt)



$$\left. \begin{matrix} U_D = \\ U_{D.A} \\ +u_D \end{matrix} \right\}$$

Kleinsignalmodell



### Das Kleinsignalmodell

- ist die im Arbeitspunkt linearisierte Ersatzschaltung ohne DC-Quellen.
- gute Näherung für die Berechnung kleiner Wechsel- (AC-) Größen.

## Transferfunktion

In einem linearisierten, gleichanteilfreien Modell sind Ausgabesignale Linearkombinationen der Eingabesignale:

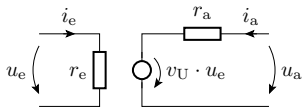
$$u_a(t) = k_1 \cdot u_{e1}(t) + k_2 \cdot u_{e2}(t) +$$

Die Abbildung eines Eingangssignals auf ein Ausgabesignal lässt sich durch ein »Zweitor« oder »Vierpol« beschreiben:

- rückwirkungsfrei  $u_e \neq f(u_a)$  (typ. für Verstärker)

$$i_e = \frac{u_e}{r_e}$$

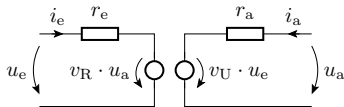
$$u_a = v_U \cdot u_e + r_a \cdot i_a$$



- mit Rückwirkung  $u_e = f(u_a)$  (Widerstandsnetzwerk)

$$i_e = \frac{u_e - v_R \cdot u_a}{r_e}$$

$$u_a = v_U \cdot u_e + r_a \cdot i_a$$

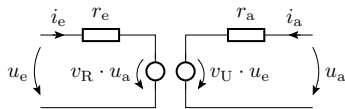




$$i_e = \frac{u_e - v_R \cdot u_a}{r_e}$$

$$u_a = v_U \cdot u_e + r_a \cdot i_a$$

Berechnung der vier Parameter:



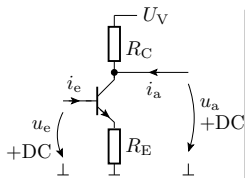
$$r_e = \left. \frac{u_e}{i_e} \right|_{u_a=0}$$

$$v_R = \left. \frac{u_e}{u_a} \right|_{i_e=0}$$

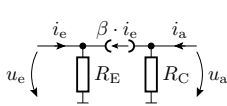
$$r_a = \left. \frac{u_a}{i_a} \right|_{u_e=0}$$

$$v_U = \left. \frac{u_a}{u_e} \right|_{i_a=0}$$

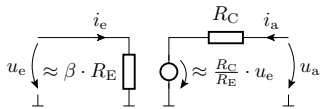
## ■ rückwirkungsfreier Verstärker als Zweitor



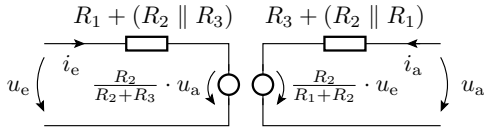
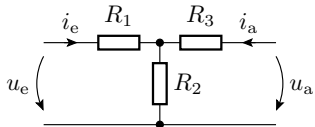
Ersatzschaltung ohne DC-Quellen mit Transistor im Normalmodus



Zweitor mit gesteuerter Spannungsquelle

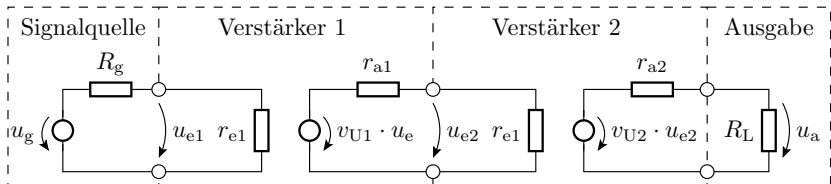


## ■ Widerstandsnetzwerk als Zweitor



- Ersatzwiderstand: Widerstand, wenn die Spannung auf der anderen Seite null ist.
- Ersatzquellspannung: Anschlussspannung, wenn der Strom auf derselben Seite null ist.

## Verkettung von Zweitoren



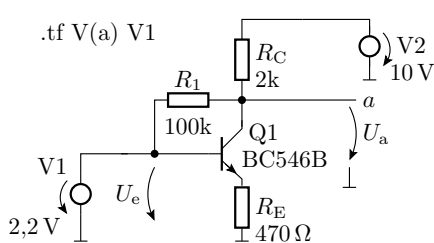
$$u_g \cdot \frac{r_{e1}}{R_g + r_{e1}} \cdot v_{U1} \cdot \frac{r_{e2}}{r_{a1} + r_{e2}} \cdot v_{U2} \cdot \frac{R_L}{R_L + r_{a2}} = u_a$$

Beschreibung der Signalverarbeitung als Folge von

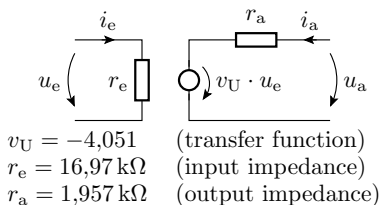
- Dämpfungsgliedern (Spannungsteilern) und
- Verstärkern.

## Berechnung der Transferfunktion

(Parameter eines rückwirkungsfreien Zweitors.)



Analyseergebnis



Vorgehen:

- Schaltung eingeben
- Analyseart »tr« für »transfer function« auswählen
- Ausgabesignal  $V(a)$ <sup>1</sup> und Eingabequelle V1 festlegen.

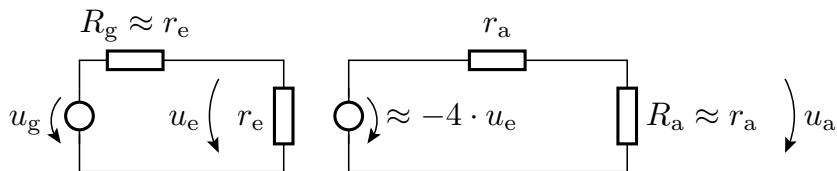
Ergebnis hängt von dem mit V1 eingestellten Arbeitspunkt ab.

<sup>1</sup>»voltage« von a

## Was besagt das Ergebnis?

In der Regel wählt man

- Generatorwiderstand gleich Eingangswiderstand und
- Lastwiderstand gleich Ausgangswiderstand.



Die Eingangsspannung wird zweimal halbiert und einmal um den Faktor  $\approx -4$  verstärkt:

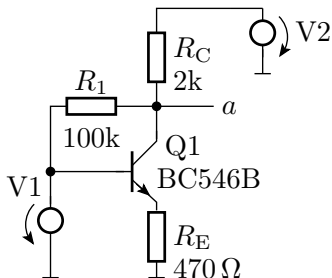
$$u_a \approx -u_g$$



## Berechnung von Kennlinien

## Kennlinienberechnung (DC sweep)

- Kennlinie: Abbildung einer Ein- auf einer Ausgabegröße.
- Kennlinienschar: Mehrere Kennlinien in Abhängigkeit von weiteren Eingabegrößen.
- Beispiel: Berechnung  $U_a = f(V1, V2)$



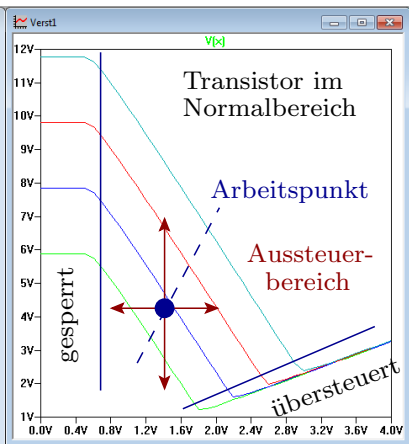
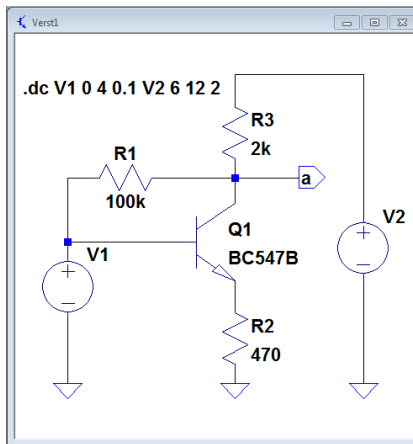
Wiederhole für  $V2=6V$  bis  $12V$   
in  $2V$  Schritte

je einen Graf  
wiederhole für  $V1=0$  bis  $5V$   
in  $0,1V$  Schritten

berechne alle Ströme  
und Spannungen

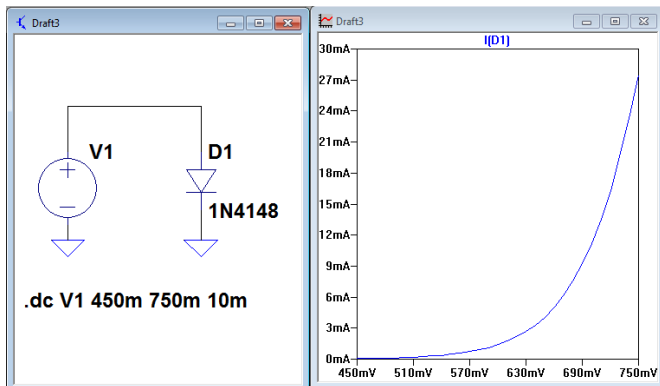
```
.dc V1 0 5 0.1 V2 6 12 2
```

- Benötigt z.B. zur Arbeitspunktbestimmung.



- Q1 gesperrt:  $U_a = V_2$
- Q1 übersteuert:  $U_a = V_1 - U_{BEF} + U_{CEX}$
- Q1 Normalbetrieb: Verstärkung ca. -4
- Arbeitspunkt: Mitte Normalbereich

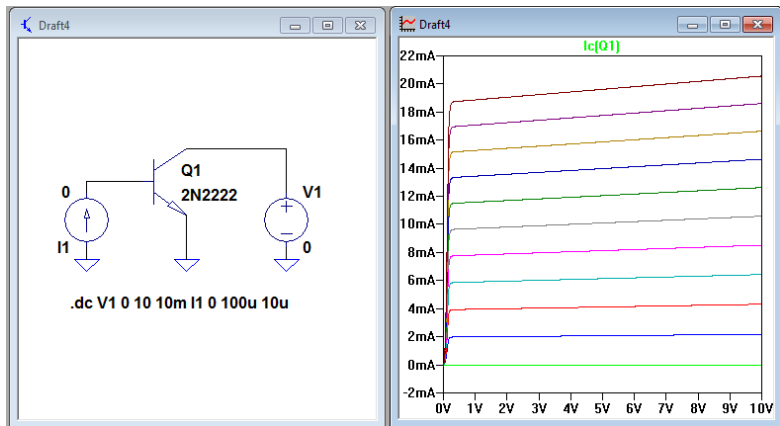
## Diodenkennlinie



- Näherungsweise exponentieller Verlauf:

$$I_D \sim e^{\frac{U_D}{U_T}}$$

## Transistorkennlinie



Enspricht nur grob dem Verhalten der bisherigen  
Ersatzschaltung.

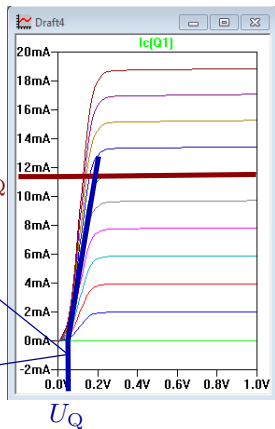
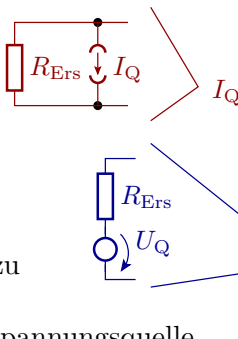
## Modellierung

Bisheriges Modell:

- Normalmodus Stromquelle
- Sättigung: Spannungsquelle

Genauere Annäherung:

- Im Normalmodus nimmt  $I_C$  mit  $U_{CE}$  zu  $\Rightarrow$  zusätzlicher  $R_{Ers}$  in parallel zur Ersatzstromquelle.
- In der Sättigung nimmt  $U_{CE}$  mit  $I_C$  zu  $\Rightarrow$  zusätzlicher  $R_{Ers}$  in Reihe zur Ersatzspannungsquelle
- Weitere Modellverbesserungen folgen später.





# Aufgaben und Kontrollfragen



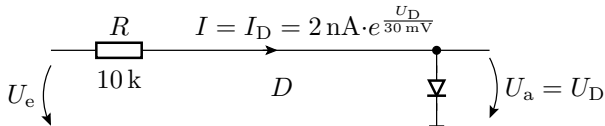
## Kontrollfragen

- Was ist ein Arbeitspunkt?
- Was ist ein Signal? Was ist der DC- und was ist der AC-Anteil eines Signals.
- Was ist ein Kleinsignalmodell? Bezieht sich das »klein« auf den DC- oder AC-Anteil?
- Zeichnen Sie die Schaltung, die durch folgende Netzliste beschrieben wird:

```
V1 N001 0 10
R1 N001 N002 1k
R2 0 N002 2k
R3 N002 N003 1k
R4 0 N003 1k
```

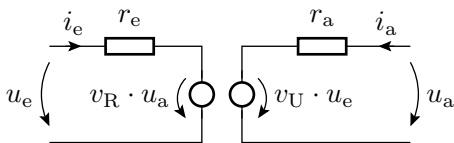
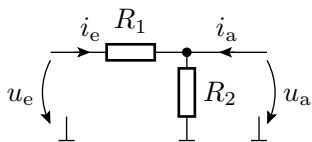
## Kleinsignalersatzschaltung RD-Glied

- 1 Wie groß sind die Ein- und Ausgangsspannung im Arbeitspunkt  $I = 1 \text{ mA}$ ?
- 2 Bestimmen der Kleinsignalersatzschaltung.
- 3 Wie groß ist die Amplitude des AC-Ausgangssignal bei einer Eingangsamplitude von  $10 \text{ mV}$ ?



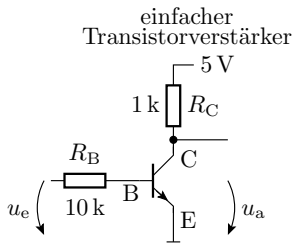
## Zweitore, Transferfunktion

Berechnen Sie für die linke Schaltung (Spannungsteiler) die Parameter  $r_e$ ,  $r_a$ ,  $v_U$  und  $v_R$  in der Ersatzschaltung rechts.

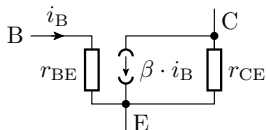


## Arbeitspunkt und Transferfunktion Verstärker

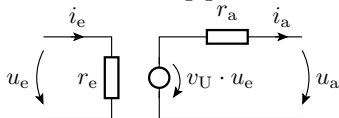
Für den nachfolgenden Transistorverstärker wurden messtechnisch im Arbeitspunkt folgende Ersatzschaltungsparameter bestimmt:  $r_e = 12 \text{ k}\Omega$ ,  $r_a = 0,9 \text{ k}\Omega$  und  $v_U = -20$  :



Ersatzschaltung Transistor



Ersatzschaltung gesamt



- 1 Kompletieren Sie die gesamte Ersatzschaltung.
- 2 Wie groß sind die Parameter  $r_{BE}$ ,  $r_{CE}$  und  $\beta$  des Transistors?



# AC-Analyse



### AC-Analyse

Abbildung zeitabhängiger Eingaben auf zeitabhängige Ausgaben.  
Zusätzliche Berücksichtigung

- der Ströme durch Kapazitäten:

$$i_C = C \cdot \frac{du_C}{dt}$$

- und Induktionsspannungen:

$$u_L = L \cdot \frac{di_L}{dt}$$

Zwei universelle Berechnungsverfahren

- zeitdiskrete Simulation und
- Analyse im Frequenzbereich.



# Zeitdiskrete Simulation

## Zeitdiskrete Simulation

- Nachbildung von  $C$  und  $L$  durch zeitveränderliche Quellen:

	Original	Ersatz
Kapazität		
Induktivität		

- Berechnung in diskreten Zeitschritten:

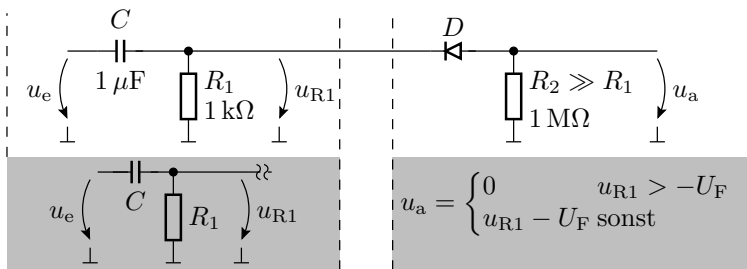
Wiederhole für jeden Zeitschritt:

stationäre Schaltungsanalyse

Berechnen der Quellwerte für den Folgeschritt

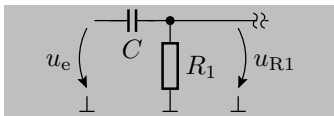
- Auch für nichtlineare Schaltungen möglich.

## Impulsgatter

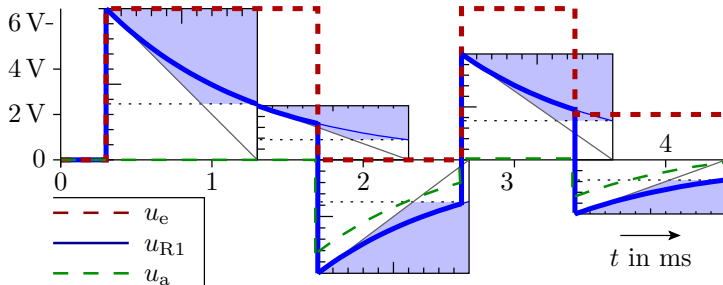


Abschätzen der Funktion:

- Wegen  $R_2 \gg R_1$  Abschätzung  $u_{R1}$  unter Vernachlässigung von  $D$  und  $R_2$  als geschaltetes RC-Glied mit  $\tau = R_1 \cdot C = 1 \text{ ms}$ .
- Für negative  $u_{R1} < -U_F$  subtrahiert die Diode etwa die Einschaltspannung.



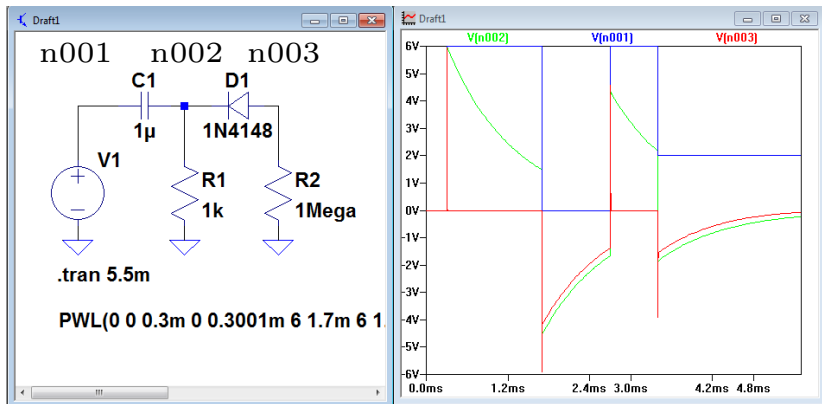
$$u_a = \begin{cases} 0 & u_{R1} > -U_F \\ u_{R1} - U_F & \text{sonst} \end{cases}$$



Beschreibung des stückweise linearen Eingangsignals:

$t$ in ms	0	0,3	0,3001	1,7	1,7001	2,7	2,7001	3,4	3,4001
$u_e$ in V	0	0	6	6	0	0	6	6	2

## Simulation



Abweichung vom geschätzten Verhalten:

- Nadelpulse auf  $u_a$  (rote Kurve). Kapazität im Diodenmodell?



## Programmierung der Signalquellen

Spannungs- und Stromquellen können für die zeitdiskrete Simulation eine breite Palette von Signalverläufen bereitstellen.

- periodischer Pulse mit den Parametern:
  - Einschaltzeit, Flankenanstieg und -abfall.
- Stückweise linear mit den Parameter:
  - Zeit-Wert-Punkte, auch als Datei
- Sinus mit den Parametern:
  - DC-Offset, Amplitude, Frequenz
  - Startverzögerung, Dämpfung, Startphase
  - Anzahl der Zyklen
- Exponentialfunktion
- Modulierte Signale



# Frequenzgang



## Frequenzbereich

Schaltungsanalyse für komplexe e-Funktionen:

$$\underline{X}(\omega) \cdot e^{j \cdot \omega \cdot t} = |\underline{X}(\omega)| \cdot (\cos(\omega \cdot t + \varphi(\underline{X}(\omega))) + j \cdot \sin(\omega \cdot t + \varphi(\underline{X}(\omega))))$$

Repräsentiert zusammen mit dem konjugiert komplexen Zeitsignal  $\underline{X}(-\omega) \cdot e^{-j \cdot \omega \cdot t}$  ein skaliertes, phasenverschobenes Kosinussignal.

- Proportionalität von  $\underline{U}$  und  $\underline{I}$  auch an  $C$  und  $L$ :

$$\underline{X}_C = \frac{\underline{U}_C}{\underline{I}_C} = \frac{1}{j\omega C}$$

$$\underline{X}_L = \frac{\underline{U}_L}{\underline{I}_L} = j\omega L$$

- Strom- und Spannungsberechnung durch Lösung eines frequenzabhängigen Gleichungssystems.

---

$\omega = 2 \cdot \pi \cdot f$  – Kreisfrequenz;  $\varphi(\dots)$  – Phase von ...

## Amplituden- und Phasenfrequenzgang

- Komplexe Widerstände, Übertragungsfunktionen, ... linearer Systeme sind Brüche von Termen  $(1 + j \cdot \frac{f}{f_0})$ , z.B.:

$$\underline{X} = \frac{1 + \frac{j \cdot f}{10 \text{ Hz}}}{\left(1 + \frac{j \cdot f}{1 \text{ kHz}}\right) \cdot \left(1 + \frac{j \cdot f}{100 \text{ kHz}}\right)}$$

Für Überschlätze:

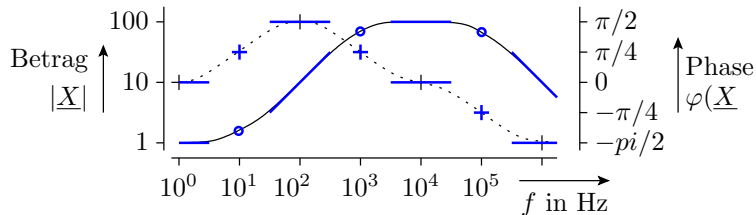
$$\left(1 + j \cdot \frac{f}{f_0}\right) \approx \begin{cases} 1 & \text{für } f \ll f_0 \\ 1 + j & \text{für } f = f_0 \\ j \cdot \frac{f}{f_0} & \text{für } f \geq f_0 \end{cases}$$

$f$	< 3 Hz	10 Hz	30 Hz ... 300 Hz	1 kHz
$\underline{X}$	1	$1 + j$	$j \cdot \frac{f}{10 \text{ Hz}}$	$\frac{j \cdot 100}{1 + j} = \frac{100 \cdot (1 + j)}{\sqrt{2}}$
$ \underline{X} $	1	$\sqrt{2}$	$\frac{f}{10 \text{ Hz}}$	$\frac{100}{\sqrt{2}}$
$\varphi(\underline{X})$	0	$1 + j \mapsto \frac{\pi}{4}$	$j \mapsto \frac{\pi}{2}$	$1 + j \mapsto \frac{\pi}{4}$

$$\underline{X} = \frac{1 + \frac{j \cdot f}{10 \text{ Hz}}}{\left(1 + \frac{j \cdot f}{1 \text{ kHz}}\right) \cdot \left(1 + \frac{j \cdot f}{100 \text{ kHz}}\right)}$$

$f$	3 kHz ... 30 kHz	100 kHz	< 300 Hz
$\underline{X}$	100	$\frac{100}{1+j} = \frac{100 \cdot (1-j)}{\sqrt{2}}$	$\frac{100}{100 \text{ kHz}} = -\frac{j \cdot 10 \text{ MHz}}{f}$
$ \underline{X} $	100	$\frac{100}{\sqrt{2}}$	$\frac{10 \text{ MHz}}{f}$
$\varphi(\underline{X})$	0	$1 - j \mapsto -\frac{\pi}{4}$	$-j \mapsto -\frac{\pi}{2}$

Betrags- und Phasenfrequenzgang (logarithmisch):





## Dezibel

Kennzeichnung des dekadischen Logarithmus des Verhältnisses zweier Energie- oder Leistungsgrößen:

$$L = 10 \cdot \lg \left( \frac{P_2}{P_1} \right) \text{ dB}$$

Für die Quadrate der Verhältnisse der Effektivwerte von Strom oder Spannung:

$$L = 10 \cdot \lg \left( \frac{U_{\text{eff.2}}^2}{U_{\text{eff.1}}^2} \right) \text{ dB} = 20 \cdot \lg \left( \frac{U_{\text{eff.2}}}{U_{\text{eff.1}}} \right) \text{ dB}$$

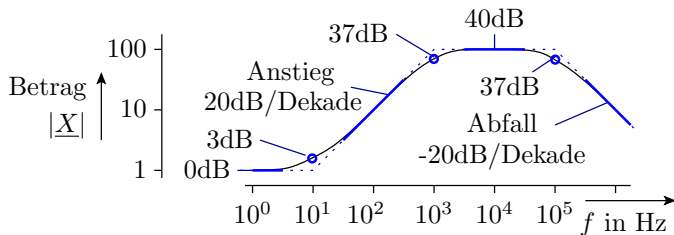
$\frac{P_2}{P_1}$	0,25	0,5	1	2	4	100
$\frac{U_{\text{eff.2}}}{U_{\text{eff.1}}}$	0,5	$\frac{\sqrt{2}}{2}$	1	$\sqrt{2}$	2	10
$L$	$\approx -6$	$\approx -3$	0	$\approx 3$	$\approx 6$	20



Für Abschätzungen setzt sich der Amplitudenfrequenzgang (Betragsfunktion) zusammen:

- aus Geradenstücken, deren Anstieg ein ganzzahliges Vielfaches von 20dB ist, und
- Punkten an den Knicken mit 3dB Abstand.

$$\underline{X} = \frac{1 + \frac{j \cdot f}{10 \text{ Hz}}}{\left(1 + \frac{j \cdot f}{1 \text{ kHz}}\right) \cdot \left(1 + \frac{j \cdot f}{100 \text{ kHz}}\right)}$$



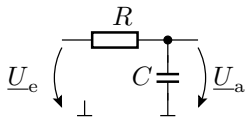
- ⋯ Geraden mit 0, 20dB und -20dB Anstieg je Dekade
- Punkte mit 3dB Abweichung



## RCL-Glieder

## RC-Spannungsteiler (Tiefpass)

Spektralanteile mit tiefen Frequenzen können passieren (Kapazität sperrt).  
 Spektralanteile mit hohen Frequenzen werden gedämpft (Kapazität leitet).



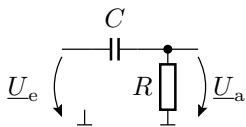
$$\frac{\underline{U}_a}{\underline{U}_e} = \frac{\frac{1}{j \cdot \omega \cdot C}}{R + \frac{1}{j \cdot \omega \cdot C}} = \frac{1}{1 + j \cdot \omega \cdot R \cdot C} = \frac{1}{1 + j \cdot \frac{f}{f_0}}$$

$f_0 = 1/2\pi \cdot R \cdot C$  – Übergangsfrequenz. Charakteristische Werte:

	$f \ll f_0$	$f = f_0$	$f \gg f_0$
$\underline{U}_a/\underline{U}_e$	1	$\frac{1-j}{\sqrt{2}}$	$-j \cdot \frac{f_0}{f}$
$ \underline{U}_a/\underline{U}_e $	1	$\frac{1}{\sqrt{2}}$	$\frac{f_0}{f}$
$\varphi(\underline{U}_a) - \varphi(\underline{U}_e)$	0	$1 - j \mapsto -\frac{\pi}{4}$	$-j \mapsto -\frac{\pi}{2}$

## CR-Spannungsteiler (Hochpass)

Spektralanteile mit tiefen Frequenzen werden gedämpft (Kapazität sperrt).  
 Spektralanteile mit hohen Frequenzen können passieren (Kapazität leitet).

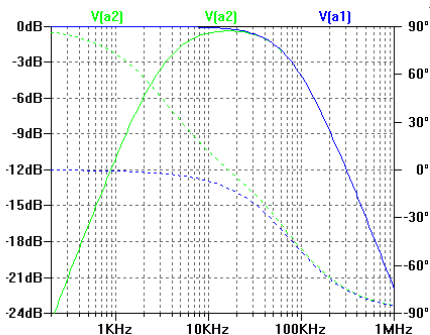
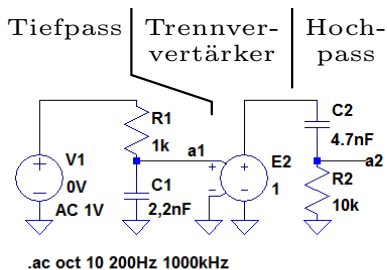


$$\frac{\underline{U}_a}{\underline{U}_e} = \frac{R}{R + \frac{1}{j \cdot \omega \cdot C}} = \frac{1}{1 + \frac{1}{j \cdot \omega \cdot R \cdot C}} = \frac{1}{1 - j \cdot \frac{f_0}{f}}$$

$f_0 = 1/2\pi \cdot R \cdot C$  – Übergangsfrequenz. Charakteristische Werte:

	$f \ll f_0$	$f = f_0$	$f \gg f_0$
$\underline{U}_a/\underline{U}_e$	$j \cdot \frac{f}{f_0}$	$1 + j$	1
$ \underline{U}_a/\underline{U}_e $	$\frac{f}{f_0}$	$\frac{1}{\sqrt{2}}$	1
$\varphi(\underline{U}_a) - \varphi(\underline{U}_e)$	$j \mapsto \frac{\pi}{2}$	$1 + j \mapsto \frac{\pi}{4}$	0

## RC-Glieder mit Trennverstärker



$$\frac{U_{a1}}{U_e} = \frac{1}{1 - j \cdot \frac{f}{f_1}} \quad \text{mit } f_1 = 2 \cdot \pi \cdot 1 \text{ k}\Omega \cdot 2,2 \text{ nF} = 72 \text{ kHz}$$

$$\frac{U_{a2}}{U_{a1}} = \frac{1}{1 - j \cdot \frac{f_2}{f}} \quad \text{mit } f_2 = 2 \cdot \pi \cdot 10 \text{ k}\Omega \cdot 4,7 \text{ nF} = 3,4 \text{ kHz}$$

## Reihenschwingkreis (Bandpass)

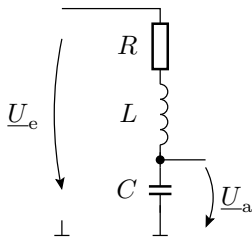
Nach Spannungsteilergesetz:

$$\begin{aligned} \underline{U}_a &= \underline{U}_e \cdot \frac{\frac{1}{j \cdot \omega \cdot C}}{R + j \cdot \omega \cdot L + \frac{1}{j \cdot \omega \cdot C}} \\ &= \underline{U}_e \cdot \frac{1}{1 + j \cdot \frac{f}{Q \cdot f_0} - \left(\frac{f}{f_0}\right)^2} \end{aligned}$$

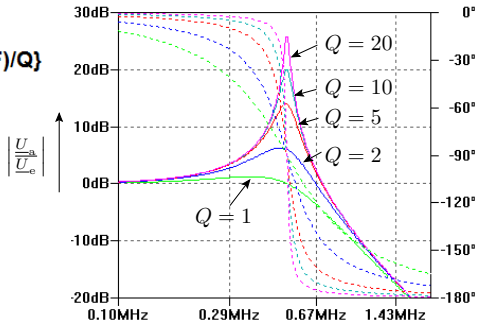
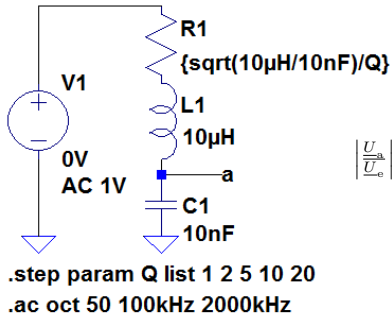
( $f_0 = 1/2\pi \cdot \sqrt{L \cdot C}$  – Resonanzfrequenz;  $Q = \frac{1}{R} \cdot \sqrt{\frac{L}{C}}$  – Güte).

Charakteristische Werte:

	$f \ll f_0$	$f = f_0$	$f \gg f_0$
$\underline{U}_a / \underline{U}_e$	1	$-j \cdot Q$	$-\left(\frac{f_0}{f}\right)^2$
$ \underline{U}_a / \underline{U}_e $	1	$Q$	$\left(\frac{f_0}{f}\right)^2$
$\varphi(\underline{U}_a) - \varphi(\underline{U}_e)$	0	$-j \mapsto -\frac{\pi}{2}$	$-1 \mapsto -\pi$



## Simulation des Frequenzgangs



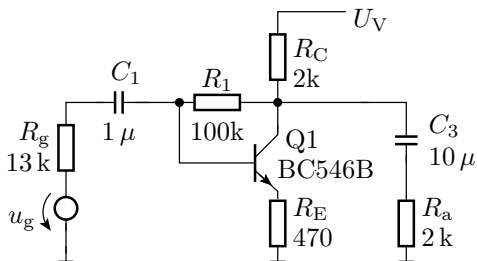
Resonanzfrequenz:

$$f_0 = 1/2\pi \cdot \sqrt{L \cdot C} = 503 \text{ kHz} \sqrt{Q}$$

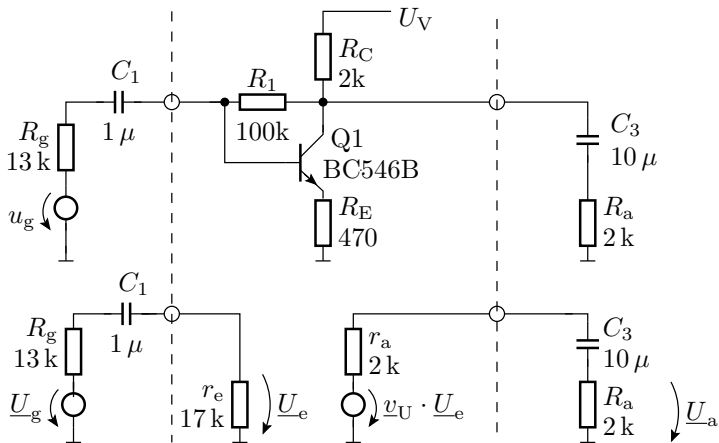


# Verstärker

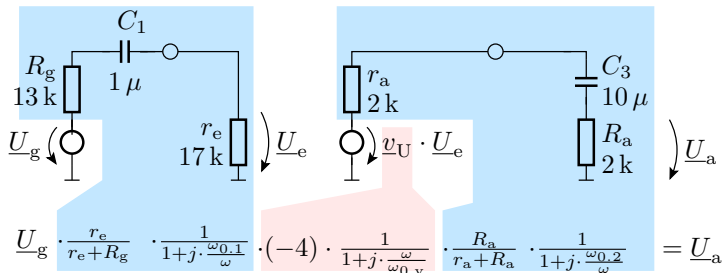
## Frequenzgang eines Transistorverstärkers



- Die Kapazitäten  $C_1$  und  $C_3$  entkoppeln den Ein- und Ausgang gleichspannungsmäßig und begrenzen den Frequenzbereich nach unten.
- Die Transistorschaltung zwischen  $C_1$  und  $C_3$  kann durch ein Zweitor mit  $r_e = 17\text{k}$ ,  $r_a \approx 2\text{k}$  und  $v_U \approx -4$  ersetzt werden (Rechnung auf Folie Zweipolparameterberechnung)



- Der Transistor begrenzt das Übertragungsband mit  $\omega_{0,T}$  (Übergangsfrequenz des Transistorverstärkers) nach oben.
- Das Ein- und das Ausgangs-RC-Glied begrenzen das Übertragungsband mit  $\omega_{0,1}$  und  $\omega_{0,2}$  nach unten.



- Übergangsfrequenzen der RC-Glieder:

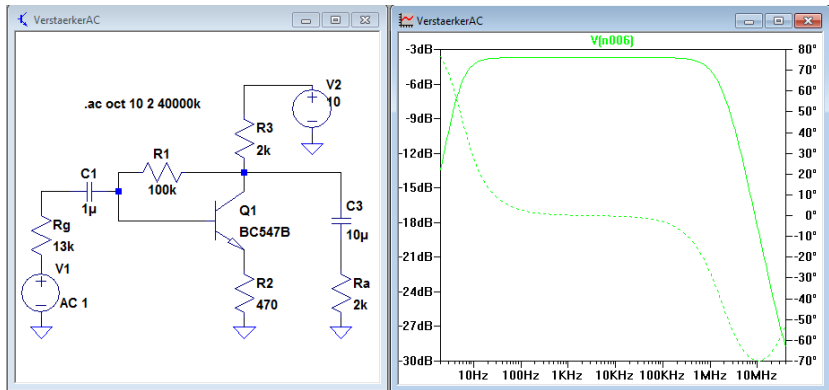
$$f_{0.1} = \frac{1}{2\pi \cdot 30 \text{ k}\Omega \cdot 1 \mu\text{F}} = 5,3 \text{ Hz}$$

$$f_{0.2} = \frac{1}{2\pi \cdot 4 \text{ k}\Omega \cdot 10 \mu\text{F}} = 4,0 \text{ Hz}$$

Verstärkung im mittleren Bereich (z.B. 1 kHz):

$$|v| = \left| \frac{17 \text{ k}\Omega}{30 \text{ k}\Omega} \cdot (-4) \cdot \frac{2 \text{ k}\Omega}{4 \text{ k}\Omega} \right| = 1,133 \quad (\approx 1 \text{ dB})$$

## Simulationsergebnis



- Untere Bandgrenze ca. 5 Hz ✓.
- Verstärkung ca. -4 dB statt 1 dB (?).

## Übergangs- und Grenzfrequenzen eines Verstärkers

Verstärker ohne C- und L-Beschaltung haben im allgemeinen für niedrige Frequenzen eine konstante Verstärkung und ab einer Frequenz  $f_0$  wie ein RC-Glied einen Verstärkungsabfall von 20dB pro Dekade:

$$\underline{v} = \frac{v_0}{1 + j \cdot \frac{f}{f_0}} \quad (1)$$

- Die Übergangsfrequenz ist die Frequenz  $f_0$ , bei der Betrag der Verstärkung auf  $\frac{1}{\sqrt{2}}$  abgefallen ist.
- Die Grenzfrequenz ist die Frequenz, bei der der Betrag der Verstärkung auf 1 abgefallen ist:

$$f_g = f|_{|\underline{v}|=1}$$

Für Verstärker mit Frequenzgang nach Gl. 1:

$$\left| v_0 \cdot \frac{1}{1 + j \cdot \frac{f}{f_0}} \right| = 1 \Rightarrow f_g \approx v_0 \cdot f_0$$



# Spektralanalyse

## Fouriertransformation

Jedes bandbegrenzte periodische Signal lässt sich als Summe komplexer Exponentialterme darstellen:

$$x(t) = \sum_{m=-\frac{N}{2}}^{\frac{N}{2}-1} \underline{X}(m) \cdot e^{j \cdot m \cdot \omega_0 \cdot t}$$

- $f_0 = 1/T$  – Grundfrequenz des Signals
- $T$  – Periode des Signals
- $\underline{X}(m)$  – Spektralkwert bestehend aus Betrag und Phase
- $(\frac{N}{2} - 1) \cdot f_0$  – höchste Frequenz, für die der Spektralwert  $\neq 0$  sein darf<sup>2</sup>.
- Die Berechnung der  $N$  Spektralwerte erfordert  $N$  (äquidistante) Zeitwerte.
- $N$  linear unabhängige Gleichungen mit  $N$  Unbekannten; numerisch lösbar.

---

<sup>2</sup>Sonst ist das berechnete Spektrum nur eine Näherung.



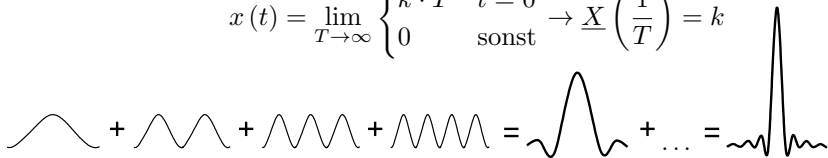
- Für reelle  $x(t)$  sind alle Spektralwertpaare Paare  $\underline{X}(m)$ ,  $\underline{X}(-m)$  zueinander konjugiert komplex und  $\underline{X}(-\frac{N}{2}) = 0$ :

$$x(t) = X(0) + 2 \cdot \sum_{m=1}^{\frac{N}{2}-1} |\underline{X}(m)| \cdot \cos(m \cdot 2\pi \cdot f_0 \cdot t + \text{Phase}(\underline{X}(m)))$$

$X(0)$  – Gleichanteil.

- Annäherung nichtperiodischer Signale durch
  - $T \rightarrow \infty$  und  $f_0 = 1/T \rightarrow 0$
  - diskrete Spektralfunktion  $\rightarrow$  kontinuierliche Spektralfunktion, z.B. Impuls:

$$x(t) = \lim_{T \rightarrow \infty} \begin{cases} k \cdot T & t = 0 \\ 0 & \text{sonst} \end{cases} \rightarrow \underline{X}\left(\frac{1}{T}\right) = k$$

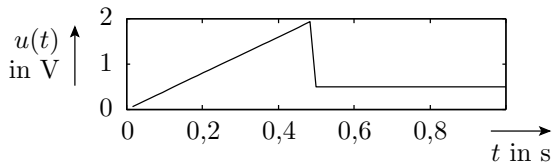




## Beispiel

- Stückweise lineare Funktion mit den Eckpunkten 0,0; ... und Periode 1
- Erzeugung und Darstellung der Abtastfolge mit Matlab

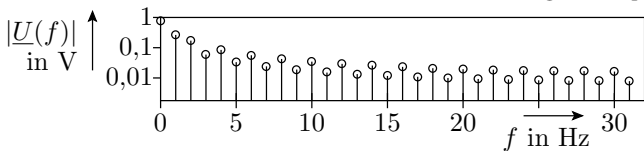
```
TP = 1; % Periodendauer in s
N = 2^6; % Abtastwerte je Periode
u = [ ... ]; % Vorgabe der N Abtastwerte
t = (0:N-1)*TP/N; % Folge der N Zeitwerte
subplot(3,1,1); plot(t,u); % Darstellung der Zeitfunktion
```



## ■ Berechnung des Spektrums

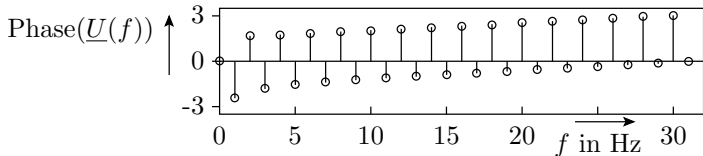
```

U = fft(u)/N; % Berechnung des Spektrums
f = (0:N/2-1)/TP; % Vektor der positiven Freq.
subplot(3,1,2); stem(f, abs(U(1:N/2))s); % Betrag der Spektralwerte
    
```



```

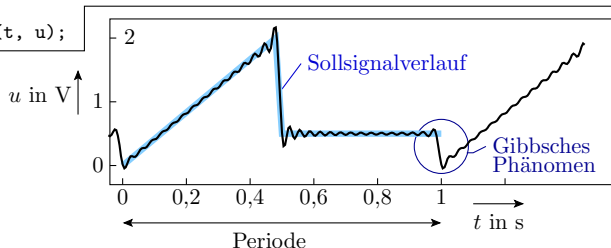
subplot(3,1,3); stem(f, angle(U(1:N/2))); % Phasenverschiebung
% der Spektralwerte
    
```



- Nicht stetige Zeitfunktionen haben kein bandbegrenztetes Spektrum. Berechnung des Zeitsignals zum berechneten Spektrum:

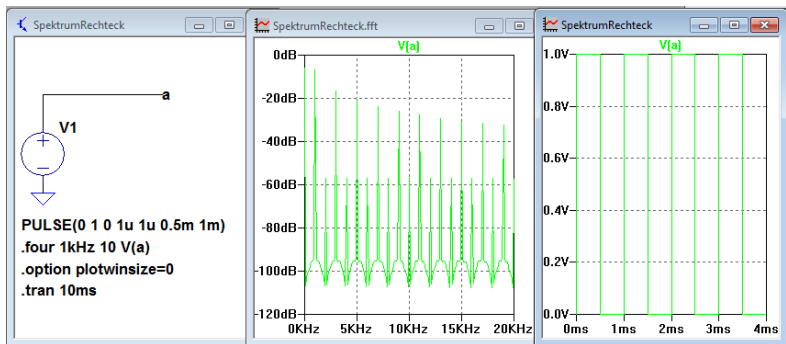
```

for n=1:300                                % für 300 Zeitwert
    t(n)=(n-10)/200;                        % Abtastzeitpunkt festlegen
    u(n)=U(1);                              % Wert mit Gleichanteil initialisieren
    for m=2:32                              % für die 31 Spektraltermine mit f > 0
        u(n)=u(n)+2*real(U(m)*e^(j*2*pi*f(m)*t(n)));
    end;                                    % doppelten Realteil hinzufügen
end;
plot(t, u);
    
```



- Gibbsches Phänomen: Ripple an Unstetigkeitsstellen.

## Spektrumberechnung mit LTSpice



- Zeitdiskrete Simulation
- Darstellung des Spektrum mit Menü: »view«, »fft«, Auswahl des Signals.

Mit der zusätzlichen Spice-Anweisung

```
.four 1kHz 10 V(a)
```

werden die Spektralwerte für 1kHz und 10 Oberwellen berechnet und im ErrLog-File gespeichert:

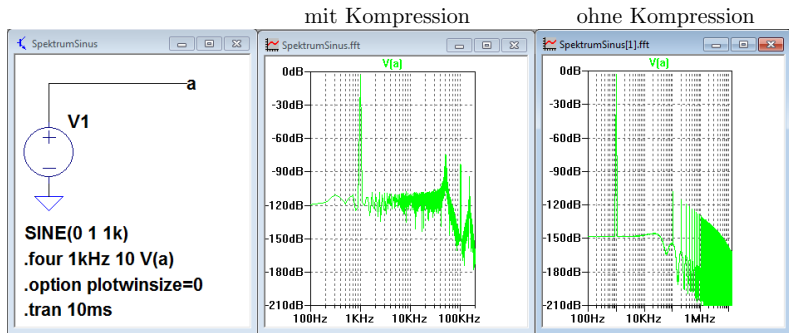
Harmonic Number	Frequency [Hz]	Fourier Component	Normalized Component	Phase [degree]	Normalized Phase [deg]
1	1.000e+03	6.366e-01	1.000e+00	-0.36°	0.00°
2	2.000e+03	2.000e-03	3.142e-03	89.28°	89.64°
3	3.000e+03	2.122e-01	3.333e-01	-1.08°	-0.72°
4	4.000e+03	2.000e-03	3.141e-03	88.56°	88.92°
5	5.000e+03	1.273e-01	2.000e-01	-1.80°	-1.44°
6	6.000e+03	2.000e-03	3.141e-03	87.84°	88.20°
7	7.000e+03	9.092e-02	1.428e-01	-2.52°	-2.16°
8	8.000e+03	2.000e-03	3.141e-03	87.12°	87.48°
9	9.000e+03	7.070e-02	1.111e-01	-3.24°	-2.88°
10	1.000e+04	1.999e-03	3.141e-03	86.40°	86.76°

Die Option

```
.option plotwinsize=0
```

deaktiviert eine interne Datenkomprimierung. Ohne diese Deaktivierung entstehen zu große numerische Fehler.

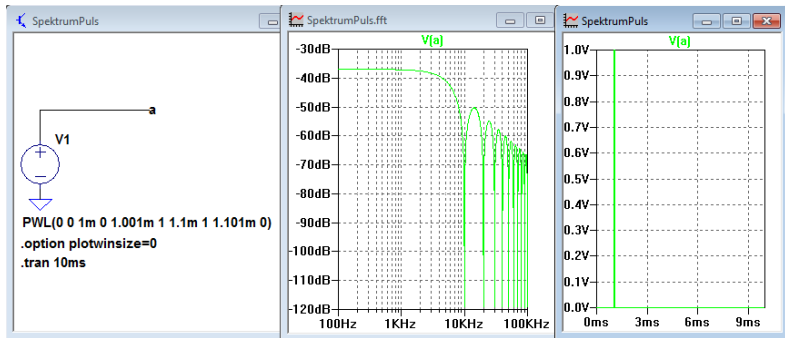
- Das Spektrum eines Sinussignal ist nur für eine Frequenz ungleich null.



- Mit der Option sind die Berechnungsfehler der Spektralwerte, die null sein müssten, um durchschnittlich etwa 30 dB geringer <sup>3</sup>.

<sup>3</sup>Quelle und weitere Genauigkeitsverbesserung: <http://www.audio-perfection.com/spice-ltspice/distortion-measurements-with-ltspice.html>

## Das Spektrum eines Impulses



- bis zur Frequenz  $\gg 1/2\pi \cdot \text{Pulsebreite}$  konstant.



# Klirrfaktor

## Spektrum und Nichtlinearität

- Im Frequenzbereich wird ein im Arbeitspunkt linearisiertes System betrachtet.
- Alternative: Annäherung einer Kennlinie im Arbeitspunkt  $x_0$  durch eine Taylorreihe:

$$f(x - x_0) = \underbrace{f(x_0) + \frac{f'(x_0)}{1!} \cdot x}_{\text{lineare Näherung}} + \underbrace{\frac{f''(x_0)}{2!} \cdot x^2 + \dots + \frac{f^{(n)}(x_0)}{n!} \cdot x^n}_{\text{vernachlässigte nichtlineare Anteile}}$$

mit  $x$  als Signal, das sich als Summer von Kosinussignalen

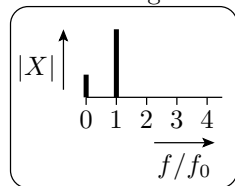
$$|\underline{X}| \cdot \cos(\omega t + \varphi(\underline{X}))$$

darstellen lässt.

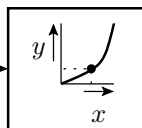
- Die  $n$ -te Potenzen eines Kosinussignal lässt sich in eine Summe von Kosinussignalen mit bis zur  $n$ -fachen Frequenz darstellen:

$$\cos(\omega t)^n = \frac{1}{2^n} \sum_{k=0}^n \binom{n}{k} \cos((n - 2k) \cdot \omega \cdot t)$$

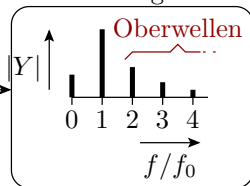
Amplitudenspektrum  
der Eingabe



nichtlineares  
System



Amplitudenspektrum  
der Ausgabe



- Zu jedem Spektralanteil im Eingangssignal entstehen Oberwellen mit einem ganzzahligen Vielfachen der Frequenz.



Herleitung:

$$\cos(\omega t)^n = \frac{1}{2^n} \sum_{k=0}^n \binom{n}{k} \cos((n-2k) \cdot \omega \cdot t)$$


---

$$\cos(\omega \cdot t)^n = \frac{1}{2} \cdot (e^{j \cdot \omega \cdot t} + e^{-j \cdot \omega \cdot t})^n$$

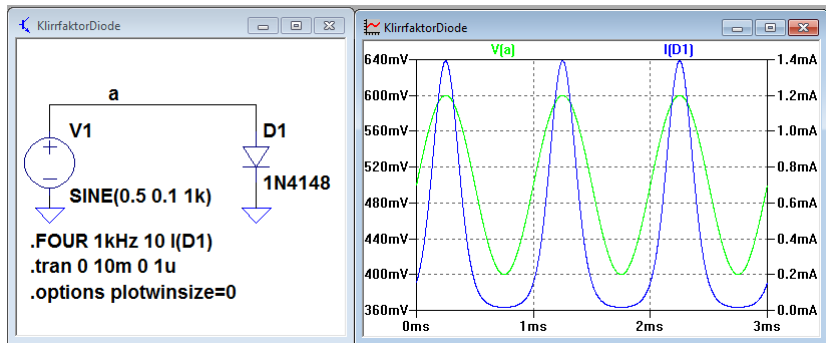
Nach dem Binomischen Lehrsatz:

$$(e^{j \cdot \omega \cdot t} + e^{-j \cdot \omega \cdot t})^n = \sum_{k=0}^n \binom{n}{k} \cdot \underbrace{e^{j \cdot \omega \cdot t \cdot (n-k)} \cdot e^{-j \cdot \omega \cdot t \cdot k}}_{e^{j \cdot \omega \cdot t \cdot (n-2k)}}$$

Summe enthält paarweise konjugiert komplexe Terme, z.B für  $n = 4$ :

$k$	0	1	2	3	4
Exponent: $n - 2k$	4	2	0	-2	-4
$\binom{n}{k}$	1	4	6	4	1

## Signalverzerrung an einer Diode



- Die Strom-Spannungskennlinie einer Diode ist näherungsweise eine Exponentialfunktion.
- Der untere Teil wird gestaucht und der obere gestreckt.



- Spektralwerte des Diodenstroms berechnet mit:

```
.four 1kHz 10 V(a)
```

Harmonic Number	Frequency [Hz]	Fourier Component	Phase [degree]
1	1.000e+03	5.927e-04	0.01°
2	2.000e+03	2.740e-04	-89.99°
3	3.000e+03	9.073e-05	-179.98°
4	4.000e+03	2.303e-05	90.03°
5	5.000e+03	4.649e-06	0.03°
6	6.000e+03	7.509e-07	-89.96°
7	7.000e+03	9.288e-08	-179.96°
8	8.000e+03	6.882e-09	89.99°
9	9.000e+03	4.010e-10	-178.20°
10	1.000e+04	2.657e-10	90.08°

Total Harmonic Distortion: 48.864496%

## Klirrfaktor (Harmonic Distortion)

- Maß der Verzerrung. Bei Audiosignalen als »klirren« wahrnehmbar.
- Anteil der Energie der Oberwellen an der Gesamtenergie. Verhältnis der Effektivwerte:

$$k = \sqrt{\frac{\sum_{i=2}^{\infty} |\underline{X}(i \cdot f_0)|^2}{\sum_{i=1}^{\infty} |\underline{X}(i \cdot f_0)|^2}}$$

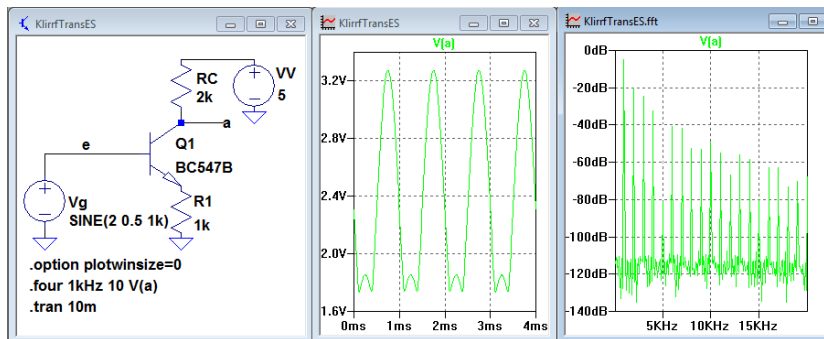
- Im Beispiel:

$$\begin{aligned} k &= \sqrt{\frac{(2,740e \cdot 10^{-4})^2 + (9,073 \cdot 10^{-5})^2 + \dots}{(5,927 \cdot 10^{-4})^2 + (2,740e \cdot 10^{-4})^2 + (9,073 \cdot 10^{-5})^2 + \dots}} \\ &= 48,8 \end{aligned}$$

- Das Ergebnis steht unter den Spektralwerten im SPICE Error Log:

**Total Harmonic Distortion: 48.864496%**

## Der Klirrfaktor eines Verstärkers



- Für zu große Werte der Eingangsspannung geht der Transistor in die Übersteuerung.
- Änderung der Verstärkung von  $-2$  nach  $1$ .



Fourier-Koeffizienten und Klirrfaktor aus dem SPICE Error Log:

Harmonic Number	Frequency [Hz]	Fourier Component	Normalized Component	Phase [degree]
1	1.000e+03	7.883e-01	1.000e+00	-180.00°
2	2.000e+03	1.396e-01	1.770e-01	-90.04°
3	3.000e+03	8.518e-02	1.081e-01	179.96°
4	4.000e+03	3.380e-02	4.287e-02	90.03°
5	5.000e+03	1.275e-04	1.618e-04	44.24°
6	6.000e+03	1.318e-02	1.671e-02	89.62°
7	7.000e+03	1.124e-02	1.426e-02	-0.06°
8	8.000e+03	3.207e-03	4.068e-03	-88.60°
9	9.000e+03	3.201e-03	4.060e-03	-1.90°
10	1.000e+04	4.716e-03	5.983e-03	-90.54°

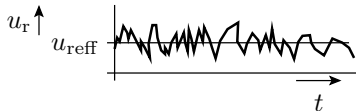
Total Harmonic Distortion: 21.307795%



# Rauschen

## Rauschen

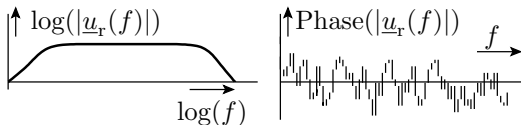
Ein Rauschsignal ist ein Zufalls-signal, verursacht durch die thermische Bewegung der Ladungsträger.



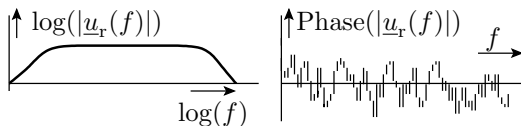
- Kenngröße Effektivwert / Leistungsmittelwert:  
quadratischer Mittelwert im betrachteten Zeitfenster:

$$u_{\text{reff}}^2 = \frac{1}{t_2 - t_1} \cdot \int_{t_1}^{t_2} u_r^2 \cdot dt$$

- Im Spektralbereich hat Rauschen einen vorhersagbaren Amplituden- und einen zufälligen Phasenfrequenzgang:



## Effektivwertberechnung aus dem Spektrum



Das Quadrat des Effektivwertes ist das Integral über alle Effektivwertquadrate:

$$u_{\text{reff}}^2 = \int_{f_u}^{f_o} |\underline{u}_r(f)|^2 \cdot df$$

$$i_{\text{reff}}^2 = \int_{f_u}^{f_o} |\underline{i}_r(f)|^2 \cdot df$$

( $|\underline{u}_r(f)|$  – Betrag Rauschspannungsdichte;  $|\underline{i}_r(f)|$  – Betrag Rauschstromdichte;  $f_u$ ,  $f_o$  – untere und obere Grenze des Frequenzbereichs, für den das Rauschen bestimmt wird).

## Rauschquellen

Ursache für das Rauschen sind thermische Bewegung der Ladungsträger. Rauscharten:

- weißes Rauschen: Rauschdichte für alle Frequenzen gleich.
- 1/f-Rauschen: Rauschdichte nimmt umgekehrt proportional mit der Frequenz ab.

Elektronische Schaltungen haben eine begrenzte Bandbreite. Es interessiert nur das Rauschen im genutzten Frequenzbereich.

Widerstände haben eine temperaturabhängige Rauschleistung.

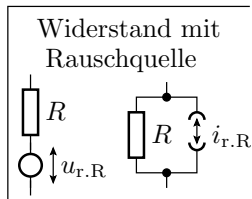
- Rauschspannungsdichte:

$$|u_{r,R}(f)| = \sqrt{4 \cdot k \cdot T \cdot R}$$

- Rauschstromdichte:

$$|i_{r,R}(f)| = \sqrt{\frac{4 \cdot k \cdot T}{R}}$$

( $k$  – Boltzmannkonstante;  $T$  – Temperatur).



pn-Übergänge generieren einen vom (Diffusions-) Strom abhängigen Rauschstrom:

- weißes Rauschen:

$$|\dot{i}_{r.sd}(f)| = \sqrt{2 \cdot q \cdot I_D}$$

- $1/f$  - Rauschen (Schottrauschen):

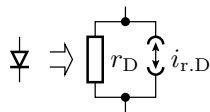
$$|\dot{i}_{r.fd}(f)| = \sqrt{\frac{k_{1/f} \cdot I_D^{\gamma_{1/f}}}{f}}$$

( $q$  - Elementarladung;  $I_D$  - Diodenstrom;  $k_{1/f}$  - Schottrauschkoeffizient, experimentell zu bestimmen (in Spice Kf);  $\gamma_{1/f}$  - Schottrauschexponent, typ 1...2 (in Spice Af)).

- Der Simulator berechnet für jede Rauschquelle einzeln und für alle Rauschquellen zusammen die verursachten effektiven Rauschspannung- /-stromdichten am Schaltungsaustritt.

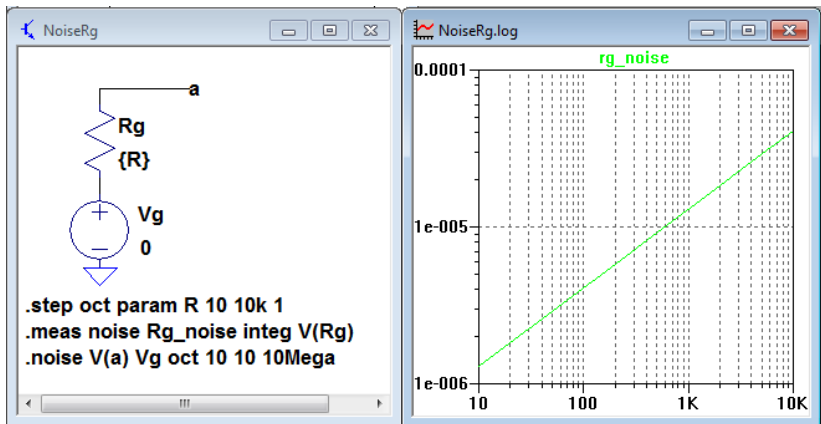
- Berechnung der Effektivwerte  $u/i_{\text{reff}} = \sqrt{\int_{f_u}^{f_o} (\dots)^2 \cdot df}$  mit »integ« oder »strg-mouseclick«

Kleinsignalersatz  
schaltung Diode mit  
Rauschstromquelle



## Signalquelle mit Innenwiderstand

- Simulation zur Bestimmen der effektiven Rauschspannung für unterschiedliche Generatorwiderstände im Frequenzbereich von 10 Hz bis 10 MHz.

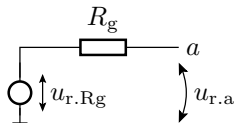


## Kontrolle des Simulationsergebnisses

In der Schaltung entsteht weißes Rauschen an  $R_g$  ( $T = 300\text{ K}$ ):

$$\begin{aligned}
 u_{\text{reff}}(R_g) &= \sqrt{\int_{f_u}^{f_o} 4 \cdot k \cdot T \cdot R_g \cdot (f_o - f_u)} \\
 &= \sqrt{4 \cdot 1,38 \cdot 10^{-23} \text{ J/K} \cdot 300 \text{ K} \cdot R_g \cdot (10 \text{ MHz} - 10 \text{ Hz})} \\
 &= 4,07 \cdot 10^{-7} \sqrt{\text{W}} \cdot \sqrt{R_g}
 \end{aligned}$$

$R_g$ in $\Omega$	10	100	1k	10k
$u_{\text{reff}}(R_g)$ in $\mu\text{V}$	1,29	4,07	12,9	40,7

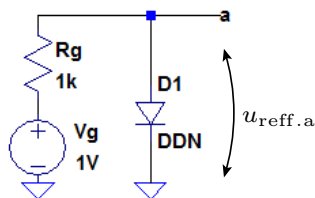


- Die Rauschspannungsquelle liegt in Reihe zum Ausgang:

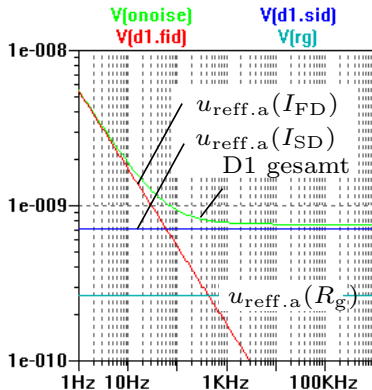
$$u_{\text{reff.a}} = u_{\text{reff}}(R_g)$$

- Rechenergebnis identisch mit Simulationsergebnis.  $\checkmark$

## Rauschen an einer Diode

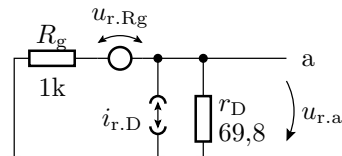


```
.noise V(a) Vg oct 10 1 1Mega
.model DDN D(Kf=1e-15 Af=1.5)
```



Kennwerte Arbeitspunkt	Rauschanteile $f = 1 \text{ Hz bis } 1 \text{ MHz}$
$I_D = 371 \mu\text{A}$	$u_{\text{reff.a}}(R_g) = 266 \text{ nV}$
$r_D = 69,8 \Omega; r_a = r_D \parallel R = 65,2 \Omega$	$u_{\text{reff.a}}(I_{SD}) = 711 \text{ nV}$ (weißes R.)
$g = \frac{r_D}{R+r_D} = 0,0652$	$u_{\text{reff.a}}(I_{FD}) = 20,5 \text{ nV}$ (Funkelr.)

## Kontrolle



- Rauschspannung an  $R_g$  (Frequenzbereich 1 Hz bis 1 MHz):

$$\begin{aligned}
 u_{\text{reff}}(R_g) &= \sqrt{4 \cdot 1,38 \cdot 10^{-23} \text{ J/K} \cdot 300 \text{ K} \cdot 1 \text{ k}\Omega \cdot (1 \text{ MHz} - 1 \text{ Hz})} = \\
 &= 4,07 \mu\text{V}
 \end{aligned}$$

- multipliziert mit dem Spannungsteilerverhältnis  $g = \frac{r_D}{R+r_D}$ :

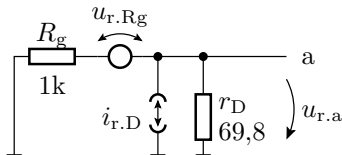
$$u_{\text{reff.a}}(R_g) = u_{\text{reff}}(R_g) \cdot g = 266 \text{ nV} \sqrt{\quad}$$

- Weißes Rauschen von D1:

$$\begin{aligned}
 i_{\text{reff}}(I_{SD}) &= \sqrt{2 \cdot 1,6 \cdot 10^{-19} \text{ C} \cdot 370 \mu\text{A} \cdot (1 \text{ MHz} - 1 \text{ Hz})} \\
 &= 10,9 \text{ nA}
 \end{aligned}$$

- multipliziert mit dem Ausgangswiderstand  $r_a = 65,2 \Omega$ :

$$u_{\text{reff.a}}(I_{SD}) = 710 \text{ nV} \sqrt{\quad}$$



- 1/f-Rauschen der Diode:

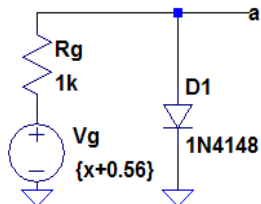
$$\begin{aligned}
 i_{\text{reff}}(I_{\text{FD}}) &= \sqrt{\int_{f_u}^{f_o} \frac{k_{1/f} \cdot I_D^{\gamma_{1/f}}}{f} \cdot df} = \sqrt{k_{1/f} \cdot I_D^{\gamma_{1/f}} \cdot \ln\left(\frac{f_o}{f_u}\right)} \\
 &= \sqrt{10^{-15} \sqrt{\text{A}} \cdot I_D^{1,5} \cdot \ln(10^6)} = 314 \text{ pA}
 \end{aligned}$$

- multipliziert mit dem Ausgangswiderstand  $r_a = 65,2 \Omega$ :

$$u_{\text{reff.a}}(I_{\text{FD}}) = 20,5 \text{ nV} \sqrt{\quad}$$

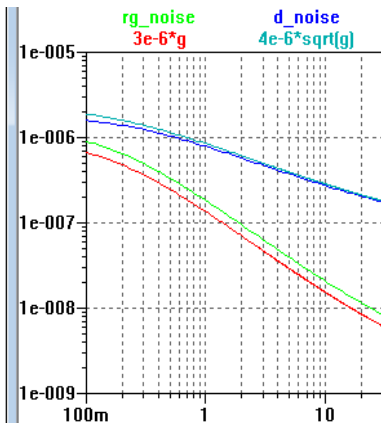
## Rauschen als Funktion von $I_D$

- Änderung von  $I_D$  über die Generatorspannung
- Diodenmodell ohne  $1/f$ -Rauschen ( $K_f=0$ )



```

.noise V(a) Vg oct 10 1 1Mega
.meas noise D_noise integ V(D1)
.meas noise Rg_noise integ V(Rg)
.meas noise g max gain
.step oct param x 0.1 30 10
    
```



## Interpretation des Ergebnisses

- $u_{\text{reff}}(R_g)$  ist wie im Experiment zuvor  $4,07 \mu\text{V}$ . Der am Ausgang ankommende Teil nimmt ab mit:

$$g = \frac{r_D}{R_g + r_D}$$

Kontrolle: paralleler Verlauf zu  $3 \mu\text{V} \cdot g$

- Die Diode verursacht an  $a$  eine effektive Rauschspannung

$$u_{\text{reff.a}}(I_{SD}) \approx 4 \mu\text{V} \cdot \sqrt{g}$$

geteilt durch den Ausgangswiderstand

$$r_a = R_g \parallel r_D = g \cdot R_g \approx r_D$$

beträgt der Rauschstrom der Diode:

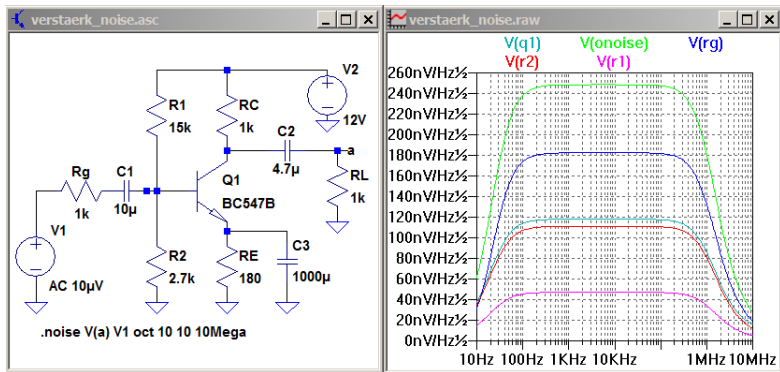
$$\sqrt{2 \cdot 1,6 \cdot 10^{-19} I_D \cdot 1 \text{ MHz}} \approx \frac{4 \mu\text{V}}{\sqrt{R_g \cdot r_D}}$$

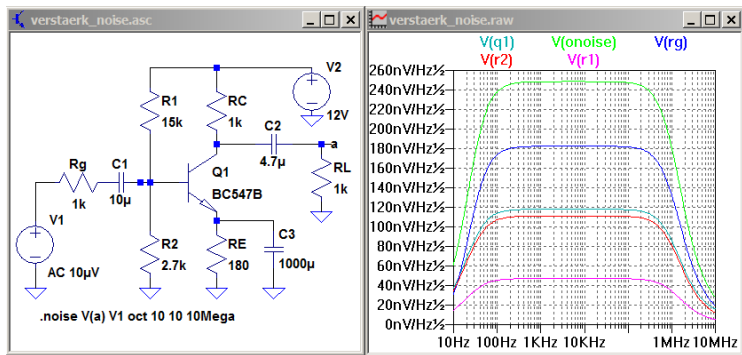
Ok. wenn  $\frac{1}{r_D} = \frac{dI_D}{dU_D} \sim I_D$  d.h.  $I_D \sim e^{U_D}$  gilt.



## Rauschanalyse an einem Verstärker

Bei der Rauschanalyse mit Spice ist immer eine Signalquelle und ein Ausgang anzugeben. Berechnet werden die Rauschdichten und -effektivwerte für alle Einzelquellen und für alle Quellen zusammen sowie der Betrag der Verstärkung  $g$ .





Effektive Rauschspannung an  $a$  mit »Strg+Mouseklick«:

Quelle	Q1	$R_g$	$R_1$	$R_2$	gesamt
$u_{\text{reff.}a}$ (Quelle) in $\mu\text{V}$	149,5	226,9	58,6	138,1	310,4

$$\text{Probe: } \sqrt{149,5^2 + 226,9^2 + 58,6^2 + 138,1^2} = 310,4\sqrt{\quad}$$

Alle wichtigen Rauschquellen erfasst.

## Signal-Rausch-Abstand (SNR – signal noise ratio)

Signalrauschabstand: Verhältnis der Leistung des Nutzsignal zur Leistung des Rauschsignals an einem Lastwiderstand. Identisch mit Verhältnis der Effektivwertquadrate:

$$SNR = \frac{u_{\text{eff}}^2}{u_{\text{reff}}^2}$$

Für einen Effektivwert der Ausgangsspannung  $u_{\text{eff.a}}^2 = 1 \text{ mV}$  und im Beispiel  $u_{\text{reff.a}} = 310,4 \mu\text{V}$ :

$$SNR = \left( \frac{1 \text{ mV}}{310,4 \mu\text{V}} \right)^2 = 10,4$$

## Rauschzahl

Relative Verschlechterung des Signal-Rausch-Abstands durch eine (Verstärker-) Schaltung.

- Es gibt immer ein unvermeidliches Grundrauschen durch den Innenwiderstand des Generators, das mit verstärkt wird, und
- ein gesamtes Rauschen am Verstärkerausgang.

Im Beispiel ist bei Ausgangsspannung  $u_{\text{eff.a}}^2 = 1 \text{ mV}$

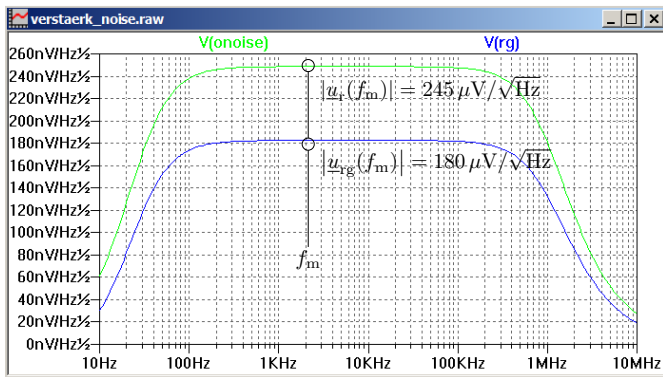
$$SNR = \frac{u_{\text{eff.a}}^2}{u_{\text{reff.a}}^2} = \left( \frac{1 \text{ mV}}{310,4 \mu\text{V}} \right)^2 = 10,4$$

und wenn es außer  $R_g$  keine Rauschquelle geben würde:

$$SNR_{R_g} = \frac{u_{\text{eff.a}}^2}{u_{\text{reff.a}}^2 (R_g)} = \left( \frac{1 \text{ mV}}{226,9 \mu\text{V}} \right)^2 = 19,4$$

Rauschzahl:

$$F = \frac{SNR_{R_g}}{SNR} = \frac{u_{\text{reff.a}}^2}{u_{\text{reff.a}}^2 (R_g)} = \frac{19,4}{10,4} = 1,87$$

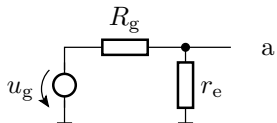


Für Breitbandverstärker etwa gesamte Rauschspannungsdichte zur Rauschspannungsdichte bezüglich  $R_g$  ins Quadrat für Frequenzen  $f_m$  im mittleren Nutzfrequenzbereich:

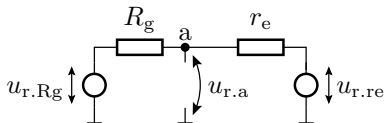
$$F \approx \frac{|u_r(f_m)|^2}{|u_{rg}(f_m)|^2} = \left( \frac{245 \mu\text{V}/\sqrt{\text{Hz}}}{180 \mu\text{V}/\sqrt{\text{Hz}}} \right)^2 = 1,85$$

## Beeinflusst eine Spannungsteiler die Rauschzahl?

Spannungsteiler z.B. an einem Verstärkereingang



Rauschersatzschaltung



$$u_{\text{reff.a}} = u_{\text{reff.Rg}} \cdot \frac{r_e}{R_g + r_e} + u_{\text{reff.re}} \cdot \frac{R_g}{R_g + r_e}$$

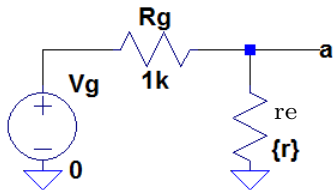
Rauschzahl:

$$F = \left( \frac{u_{\text{reff.a}}}{u_{\text{reff.a}}(R_g)} \right)^2 = \left( 1 + \frac{u_{\text{reff.re}} \cdot R_g}{u_{\text{reff.Rg}} \cdot r_e} \right)^2$$

$$F = \left( 1 + \frac{\sqrt{4 \cdot k \cdot T \cdot r_e \cdot f_B \cdot R_g}}{\sqrt{4 \cdot k \cdot T \cdot R_g \cdot f_B \cdot r_e}} \right)^2 = \left( 1 + \sqrt{\frac{R_g}{r_e}} \right)^2$$

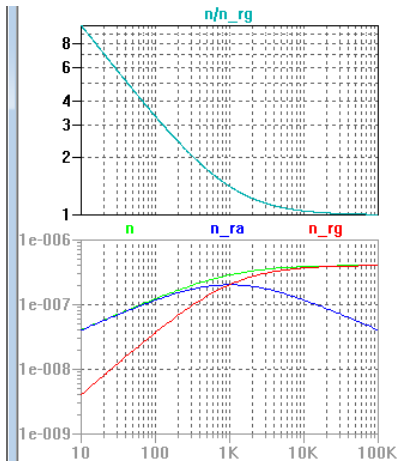
Für kleine Eingswiderstände Zunahme  $F \sim 1/r_e$

## Experiment zur Kontrolle



```

.step oct param r 10 100k 10
.noise V(a) Vg oct 10 10 10k
.meas noise n_rg integ V(Rg)
.meas noise n_ra integ V(re)
.meas noise n integ V(onoise)
.meas noise g max gain
    
```



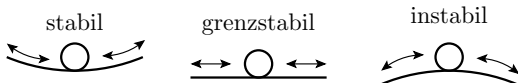
Die Kurve » $n/n_{rg}$ « entspricht  $\sqrt{F}$ . Abnahme mit  $\sqrt{1/r_e v}$ .



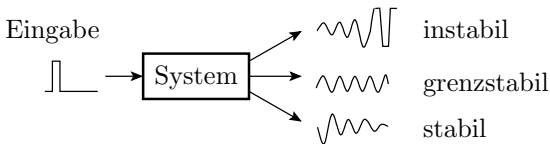
# Stabilität

## Stabilität

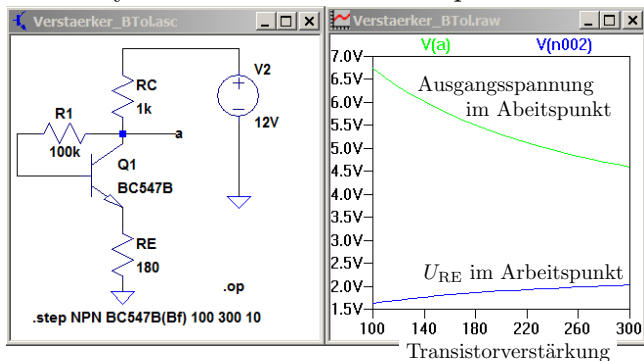
- Ein System, das nach einer Anregung in seinen ursprünglichen Zustand von selbst zurückkehrt, heißt stabil.



- Im Zeitbereich: Stabil, wenn nach Anregung mit einem Impuls der Ursprungszustand wieder von selbst erreicht wird.
- Komplexe Systeme schwingen bei Anregung:



- In der Systemtheorie und Regelungstechnik gibt es für lineare Systeme ein einfach zu überprüfendes



Stabilitätskriterium

»Die Pole müssen im Laplace-Raum in der linken Halbebene liegen.«

## Laplace-Raum

- Ein lineares System hat eine gebrochen rationale Übertragungsfunktion bezüglich  $j\omega$ :

$$\underline{X}(j\omega) = \frac{a_n \cdot (j\omega)^n + a_{n-1} \cdot (j\omega)^{n-1} + \dots + a_0}{b_m \cdot (j\omega)^m + b_{m-1} \cdot (j\omega)^{m-1} + \dots + b_0}$$

- Bei der Laplace-Transformation wird  $j\omega$  um einen Dämpfungsterm erweitert zu:

$$s = \alpha + j\omega$$

Übertragungsfunktion im Laplace-Raum:

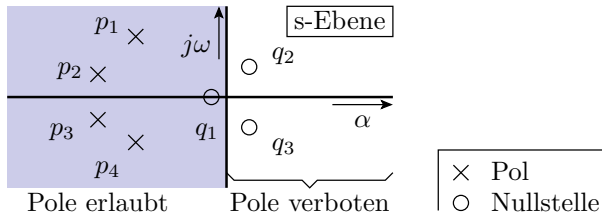
$$\underline{X}(s) = \frac{a_n \cdot s^n + a_{n-1} \cdot s^{n-1} + \dots + a_0}{b_m \cdot s^m + b_{m-1} \cdot s^{m-1} + \dots + b_0}$$

Die Funktion hat  $n$  Nullstellen und  $m$  – Polstellen, die reel oder konjugiert komplex sein können.

- Darstellung einer gebrochen rationalen Übertragungsfunktion durch  $n$  Nullstellen,  $m$  – Polstellen und einen Faktor:

$$\underline{X}(s) = \frac{a_n}{b_m} \cdot \frac{(s - q_1) \cdot (s - q_1) \cdot \dots \cdot (s - q_m)}{(s - p_1) \cdot (s - p_1) \cdot \dots \cdot (s - p_m)}$$

- Pole und Nullstellen in der s-Ebene:



## Fakt 1

Ein System ist stabil, wenn alle Pole in der linken Halbebene liegen. Rezept: Ersetze  $j\omega$  durch  $s$ . Bestimme Pole. Kontrolliere  $\alpha = \Re\{s\} < 0$ . Theorie siehe Regelungstechnik.

## Beispiel: Pole eines Schwingkreises

Nach Spannungsteilergesetz:

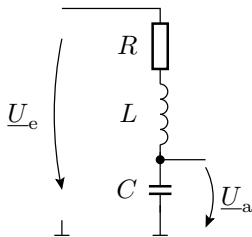
$$\begin{aligned} \underline{U}_A &= \underline{U}_E \cdot \frac{\frac{1}{s \cdot C}}{R + s \cdot L + \frac{1}{s \cdot C}} \\ &= \underline{U}_E \cdot \frac{1}{1 + \alpha \cdot \frac{s}{\omega_0} + \left(\frac{s}{\omega_0}\right)^2} \end{aligned}$$

mit  $\alpha = R \cdot \sqrt{\frac{C}{L}}, \omega_0 = 1/\sqrt{L \cdot C}$

Polstellen:

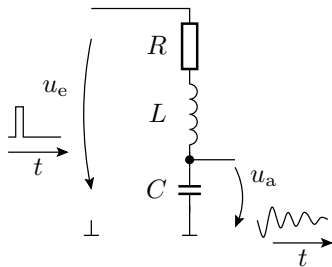
$$q_{1/2} = \omega_0 \cdot \left( -\frac{\alpha}{2} \pm \sqrt{\frac{\alpha^2}{4} - 1} \right)$$

Für  $\alpha > 0$ , d.h. für  $R > 0$  liegen die Pole immer in der linken Halbebene. Für  $\alpha \geq 2$  sind sie reel und für  $\alpha < 2$  konjugiert komplex.



## Fakt 2

Ein Schwingkreis mit  $R > 0$  ist stabil und erzeugt für kleine  $\alpha$  eine abklingende Schwingung und bei großem  $\alpha$  abklingende stetiges Ausgabesignal.



## Zusatzbemerkungen

- Von vielen Schaltungen wird Stabilität verlangt: Verstärker, insbesondere auch rückgekoppelte mit Operationsverstärkern, Spannungs- und Stromquellen, ...
- Die lineare Ersatzschaltung hängt vielfach vom Arbeitspunkt ab. Unterschiedliche Arbeitspunkte, unterschiedliche Übertragungsfunktionen und unterschiedliche Pole.
- Stabilitätskontrolle für alle erreichbaren Arbeitsbereiche erforderlich.
- Über Simulation ist Unstabilität erkennbar:
  - Im Zeitbereich, wenn das System nach Anregung mit einem Puls nicht in den Ausgangszustand (Arbeitspunkt) zurückkehrt.
  - Im Frequenzbereich: auszuprobieren, z.B. durch Simulation eines Schwingkreises mit  $R = 0$



# Aufgaben und Kontrollfragen



## Kontrollfragen Frequenzbereich

- Sind die bei der Analyse im Frequenzbereich berechneten Imaginäranteile der Ströme und Spannungen in einer Schaltung messbar und, wenn ja, wie?
- Wie könnte man messtechnisch eine komplexe Spannung  $\underline{U}$  für eine Frequenz  $\omega$  bestimmen? Was braucht man dafür für Geräte, was muss man an den Geräten einstellen, was liest man ab?

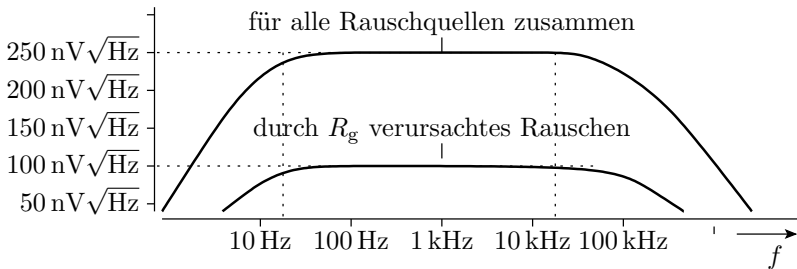


## Kontrollfragen Rauschen

- Welche Maßeinheiten haben die Rauschspannungs- und die Rauschstromdichte?
- Wie groß ist die Rauschspannungsdichte am Generatorwiderstand einer Signalquelle?
- Wie groß ist die Rauschstromdichte des Basis-Emitter-Übergangs eines Transistors bei einem Basisstrom vom  $1 \mu\text{A}$ ?
- Wie groß sind die effektive Rauschspannung und der effektive Rauschstrom an einem Widerstands von  $1 \text{ k}\Omega$  bei einer Temperatur von  $300 \text{ K}$  im Frequenzbereich von  $0$  bis  $1 \text{ MHz}$ ?
- Hängt die spektrale Rauschleistung eines Widerstands von seinem Widerstandswert ab?

## Aufgabe Rauschen

Für einen Verstärker hat der Simulator folgende spektralen Rauschdichten für den Ausgang berechnet.



- 1 Wie groß ist der Signal-Rausch-Abstand bei einer effektiven Ausgangsspannung des Nutzsignals von 1 mV?
- 2 Wie groß ist die Rauschzahl des Verstärkers?



## Aufgabe Frequenzgang

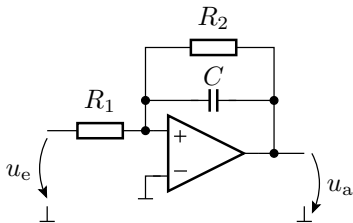
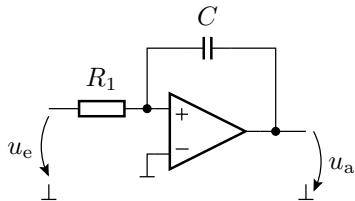
- Gegeben ist die komplexe Übertragungsfunktion eines Verstärkers:

$$\underline{v} = \frac{1 + \frac{j \cdot f}{10 \text{ Hz}}}{\left(1 + \frac{j \cdot f}{1 \text{ kHz}}\right) \cdot \left(1 + \frac{j \cdot f}{100 \text{ kHz}}\right)}$$

- 1 Schätzen Sie Betrag und Phase für die 7 Frequenzen 1 Hz, 10 Hz, 100 Hz, 1 kHz, 10 kHz, 100 kHz, 1 MHz.
- 2 Skizzieren Sie damit den Amplituden- und den Phasenfrequenzgang.

## Aufgabe Stabilität

Sind die beiden nachfolgenden Schaltungen mit Operationsverstärkern stabil?



- 1 Kehren die Schaltungen nach Anregung mit einem Impuls in den Arbeitspunkt  $u_a = 0$  zurück?
- 2 Wo liegen die Pole im Laplace-Raum?
- 3 Liegen sie alle in der linken Halbebene?



# Bauteiltoleranzen



### Bauteiltoleranzen

Die Parameter elektronischer Bauteile (Widerstand, Kapazität, Verstärkung, ...) streuen:

- fertigungsbedingt
- in Abhängigkeit von Umgebungsbedingungen (Temperatur, Feuchte,...) und

verändern sich bei Alterung.

- Eine professionelle Schaltung ist so zu entwerfen, dass sie für alle zulässigen Variationen von Parameterwerten funktioniert.
- Dazu zählt auch die Festlegung der zulässigen Bauteiltoleranzen.



### E-Reihe

- Toleranz: in der Regel  $\pm$ -Bereich in Prozent relativ zum Nennwert.
- Für Widerstände, Kondensatoren Werteabstufung nach E-Reihe, z.B. E3, E6, E12, ...
- Nummer der E-Reihe ist die Zahl der Werte je Dekade:

Serie	Werte je Dekade	Toleranz
E3	1, 2,2, 4,7	$\mp 50\%$
E6	1, 1,5, 2,2, 3,3, 4,7, 6,8	$\mp 20\%$
E12	1, 1,2, 1,5, 1,8, 2,2, 2,7 3,3, 3,9, 4,7, ...	$\mp 10\%$

Die E-Reihen E24, E48, ..., E192 haben je doppelt so viele Werte und die halbe Toleranz der E-Reihe davor.



### Festlegung der Toleranzbereiche

Ausgangspunkt: Schaltungsentwurf, der mit den Nennwerten der Bauteilparameter funktioniert. Weiteres Vorgehen:

- Definition der wesentlichen Kenngrößen der Schaltung, z.B. Verstärkung, Eingangswiderstand, Stromverbrauch, Bandbreite, ...
- Festlegung der Toleranzbereiche für diese Kenngrößen.
- Sensitivitätsanalyse: Untersuchung, wie sich Änderungen einzelner Parameter auf die wichtigen Kenngrößen der Schaltung abbilden.
- Festlegung der Toleranzen entsprechend Sensibilität: je sensibler desto geringer die Toleranz.
- Kontrolle durch Monte-Carlo-Simulation oder Worst-Case-Analyse.
- Wenn Schaltungskenngrößen nicht im zulässigen Bereich, Toleranzen der Bauteilparameter verringern.

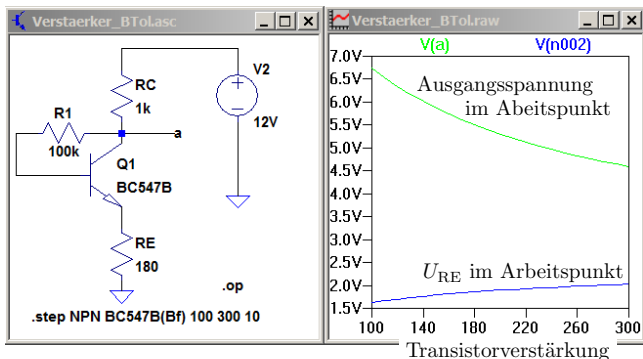


### Sensibilitätsanalyse

Simulation unter Variation eines Parameters:

```
.step <Parameter> <Anfangswert> <Endwert>  
      <Schrittweite>
```

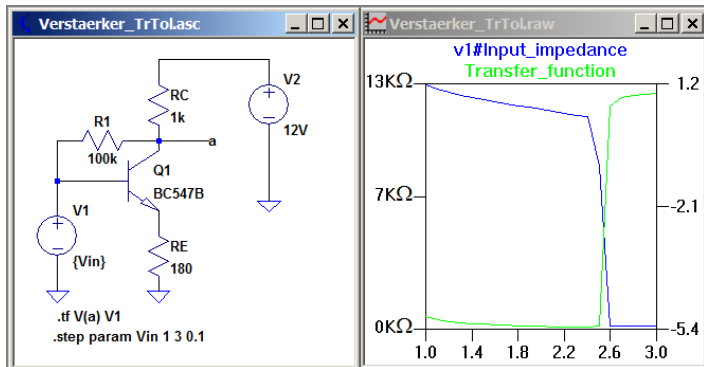
Beispiele: Arbeitspunkt unter Variation der Verstärkung.





## 4. Bauteiltoleranzen

Kleinsignalparameter »Eingangswiderstand« und »Verstärkung« in Abhängigkeit von dem mit  $V_1$  eingestellten Arbeitspunkt:



- Im Bereich  $V_1 = 0$  bis 2,4 V gibt es eine geringe Abhängigkeit.
- Ab  $V_1 > 2,5$  V wechselt der Arbeitsbereich. Die Verstärkung

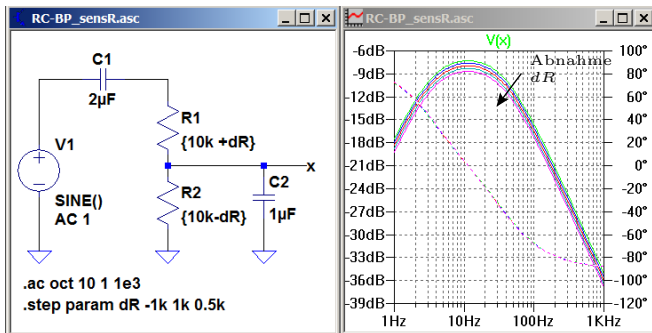


## 4. Bauteiltoleranzen

Man kann auch

- die Werte mehrere Parameter aneinander koppeln (proportionale Änderung, gegenläufige Änderung, ...) und
- Kennlinien für jeden Parameterwert bestimmen.

Beispiel: Frequenzgang eines RC-Filters in Abhängigkeit einer Widerstandsabweichung  $dR$ :



Ändert offenbar nur die Ausgabeamplitude bei ansonsten gleichem Amplituden- und Phasenfrequenzgang.



### Monte-Carlo-Simulation

Bei vielen unkorrelierten Parametern lässt sich nur eine Stichprobe möglicher Werteveriationen simulieren.

- Ersatz der Parameterwerte durch eine Funktion für eine zufällige Auswahl:

`{mc(< $\mu$ >, < $t$ >)}` \* Gleichverteilung

`{normal(< $\mu$ >, < $\sigma$ >)}` \* Normalverteilung

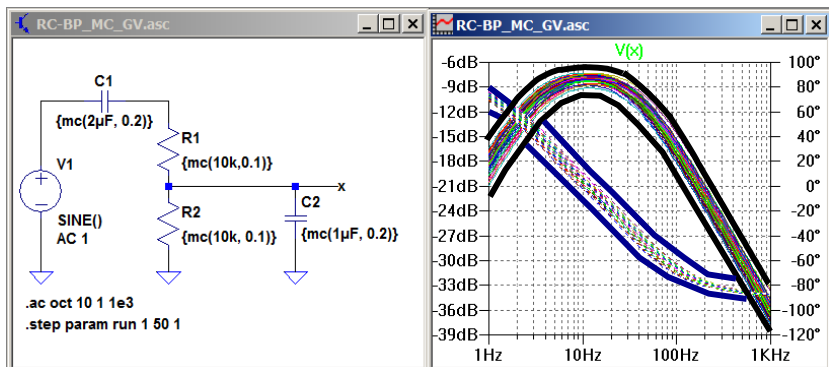
( $\mu$  – Nennwert;  $t$  –  $\pm$ -Bereich;  $\sigma$  – Standardabweichung).

- Zählschleife, im nachfolgenden Beispiel für run=1 bis 50, Schrittweite 1

Ergebnis: Eine Menge möglicher Kennlinien, um die sich ein Toleranzschlauch legen lässt.



## 4. Bauteiltoleranzen



- Toleranzschlauch Phasenfrequenzgang
- Toleranzschlauch Amplitudenfrequenzgang

- Wenn die Toleranzschläuche für den Amplituden- und Phasenfrequenzgang zu groß sind, Bauteiltoleranzen verringern.



### Worst-Case-Analyse

Im Simulator lassen sich zusätzliche Variablen und Funktionen definieren, mit denen:

- Kenngröße wie die Bandbreite
- Maximal und Minima

bestimmt werden können. Damit lassen sich auch automatisch die

- ungünstigsten Kennlinien oder
- Verteilungen

aus einer großen Menge von Simulationsergebnissen zufälligen Parameterwerten bestimmen.



### Kontrollfragen

- Es wird ein Widerstand von  $3\text{ k}\Omega$  und  $8,8\text{ k}\Omega$  mit einer zulässigen Toleranz von  $\pm 2\%$  benötigt. Aus welcher E-Reihe würden Sie die Widerstände nehmen und welche Nennwerte würden Sie wählen?
- In welchem Bereich muss in der Transistorschaltung auf Folie 128 die Verstärkung liegen, damit die Ausgangsspannung im Arbeitspunkt vom Nennwert  $U_a = 5\text{ V}$  nicht mehr als  $\pm 20\%$  abweicht.